



Лаборатория компьютерной  
графики и мультимедиа  
ВМК МГУ имени М.В. Ломоносова

*Курс «Компьютерное зрение»*

# **«Синтез изображений, ч.1»**

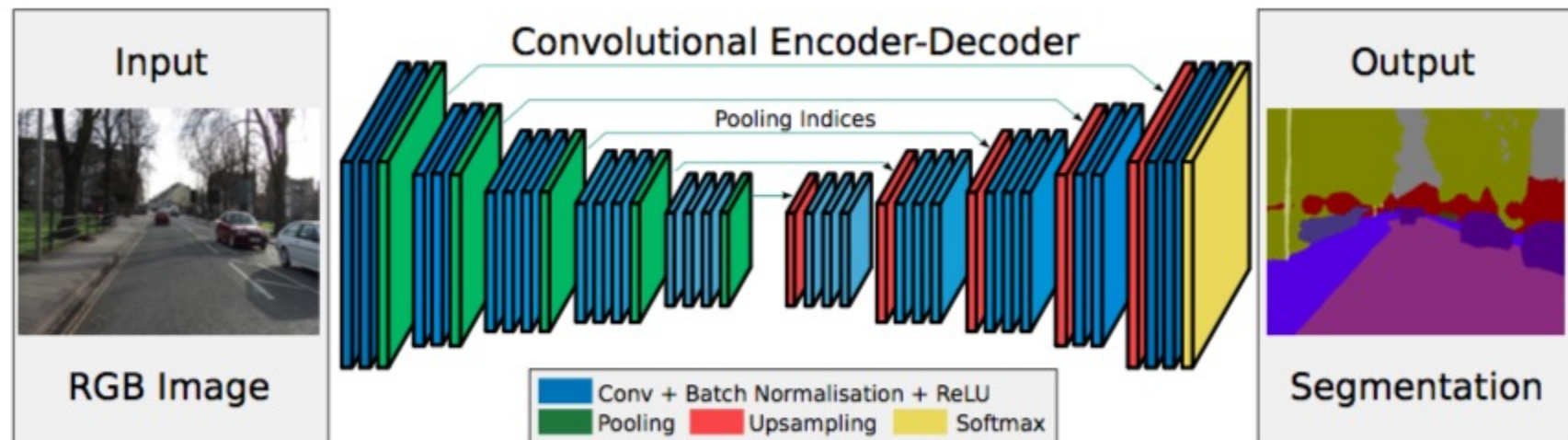
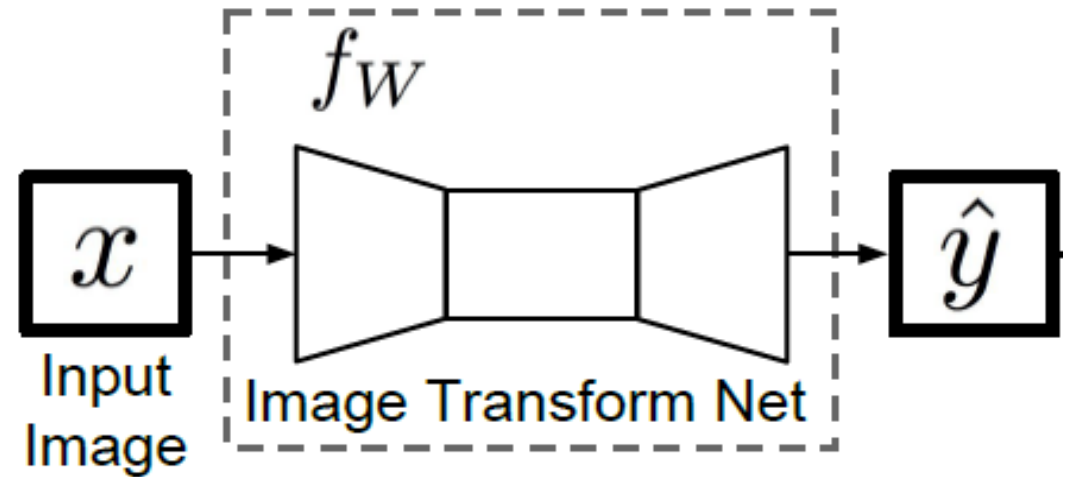
Антон Конушин и Тимур Мамедов

2025 год

# Модификация изображений



# Пример решения - преобразователи





# Перенос стиля изображения



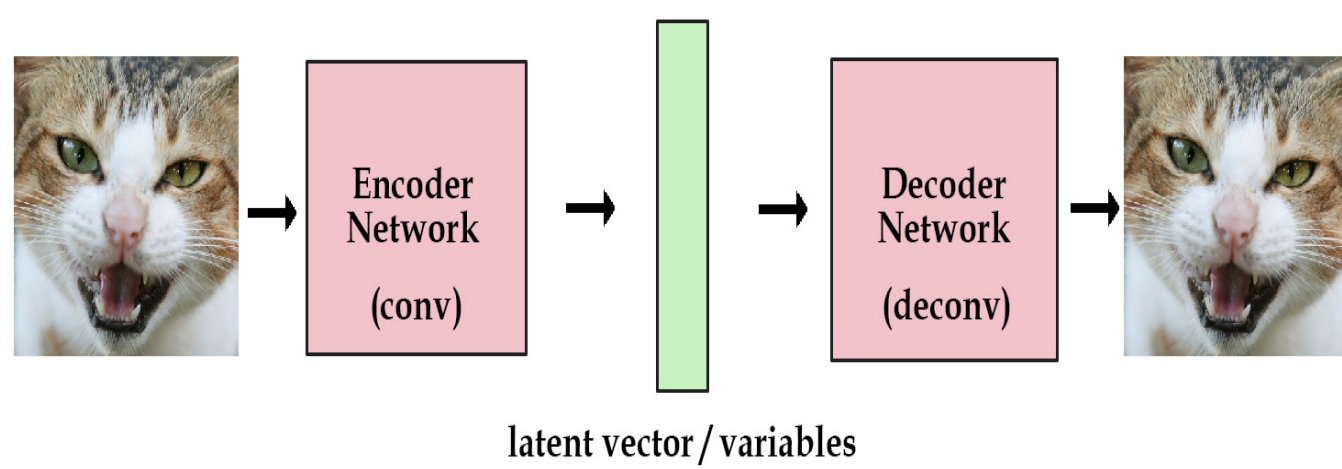
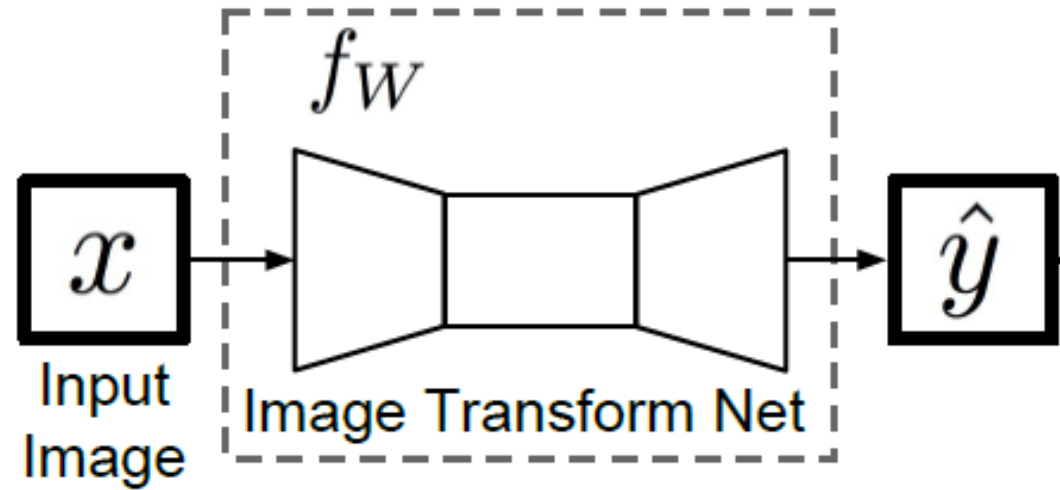
+



=



# Подходы к решению



# Синтез изображений



PLAY

ABOUT METHODS LEARN PRESS CONTACT CALLING BS

Click on the person who is real.

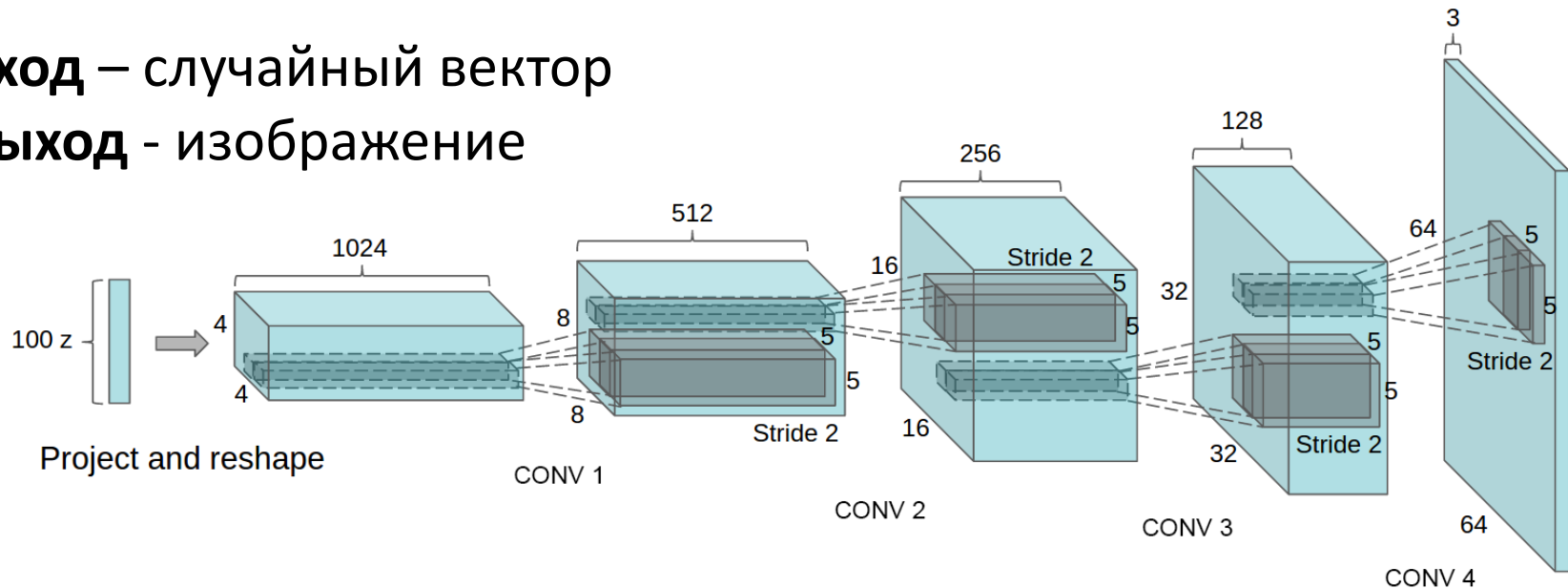


<http://www.whichfaceisreal.com/>



# Пример решения - DCGAN

**Вход** – случайный вектор  
**Выход** - изображение



Architecture guidelines for stable Deep Convolutional GANs

- Replace any pooling layers with strided convolutions (discriminator) and fractional-strided convolutions (generator).
- Use batchnorm in both the generator and the discriminator.
- Remove fully connected hidden layers for deeper architectures.
- Use ReLU activation in generator for all layers except for the output, which uses Tanh.
- Use LeakyReLU activation in the discriminator for all layers.



# Визуализация признаков и perception loss

# Визуализация вектор-признака



Найдём такое изображение  $x$ , которое даёт такой же вектор-признак от изображения  $x_0$   $\Phi_0 = \Phi(x_0)$



*Mahendran and Vedaldi. Understanding Deep Image Representations by Inverting Them, 2014*

# Визуализация изображения по выходам



Процедура поиска:

- Инициализируем  $x$  белым шумом
- Будем оптимизировать по  $x$  следующий функционал  $l$  :

$$\mathbf{x}^* = \underset{\mathbf{x} \in \mathbb{R}^{H \times W \times C}}{\operatorname{argmin}} \ell(\Phi(\mathbf{x}), \Phi_0) + \lambda \mathcal{R}(\mathbf{x})$$

$$\ell(\Phi(\mathbf{x}), \Phi_0) = \|\Phi(\mathbf{x}) - \Phi_0\|^2$$

$R(x)$  – регуляризатор, например, Total Variation (TV):

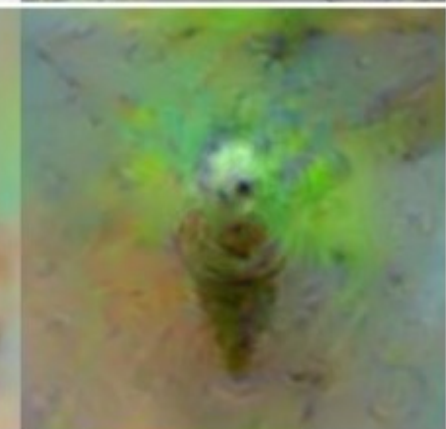
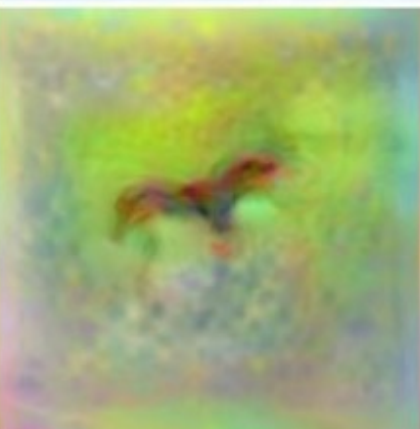
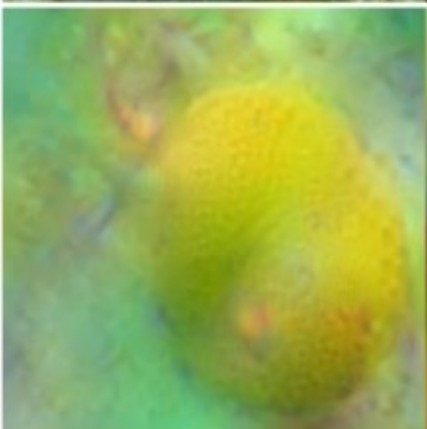
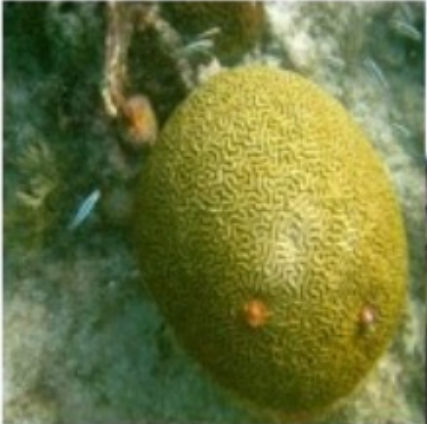
$$R(x) = \sum_{i,j} ((x_{i,j+1} - x_{i,j})^2 + (x_{i+1,j} - x_{i,j})^2)$$

- Оптимизируем функционал градиентным спуском



# Реконструкция

С последнего свёрточного слоя



Пространственная информация во многом сохраняется

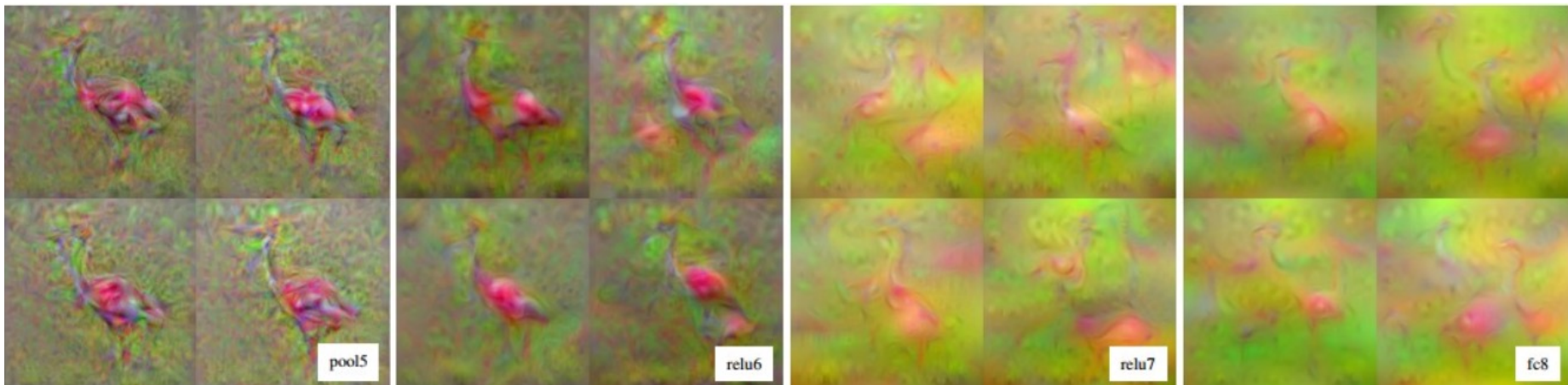


# Реконструкция

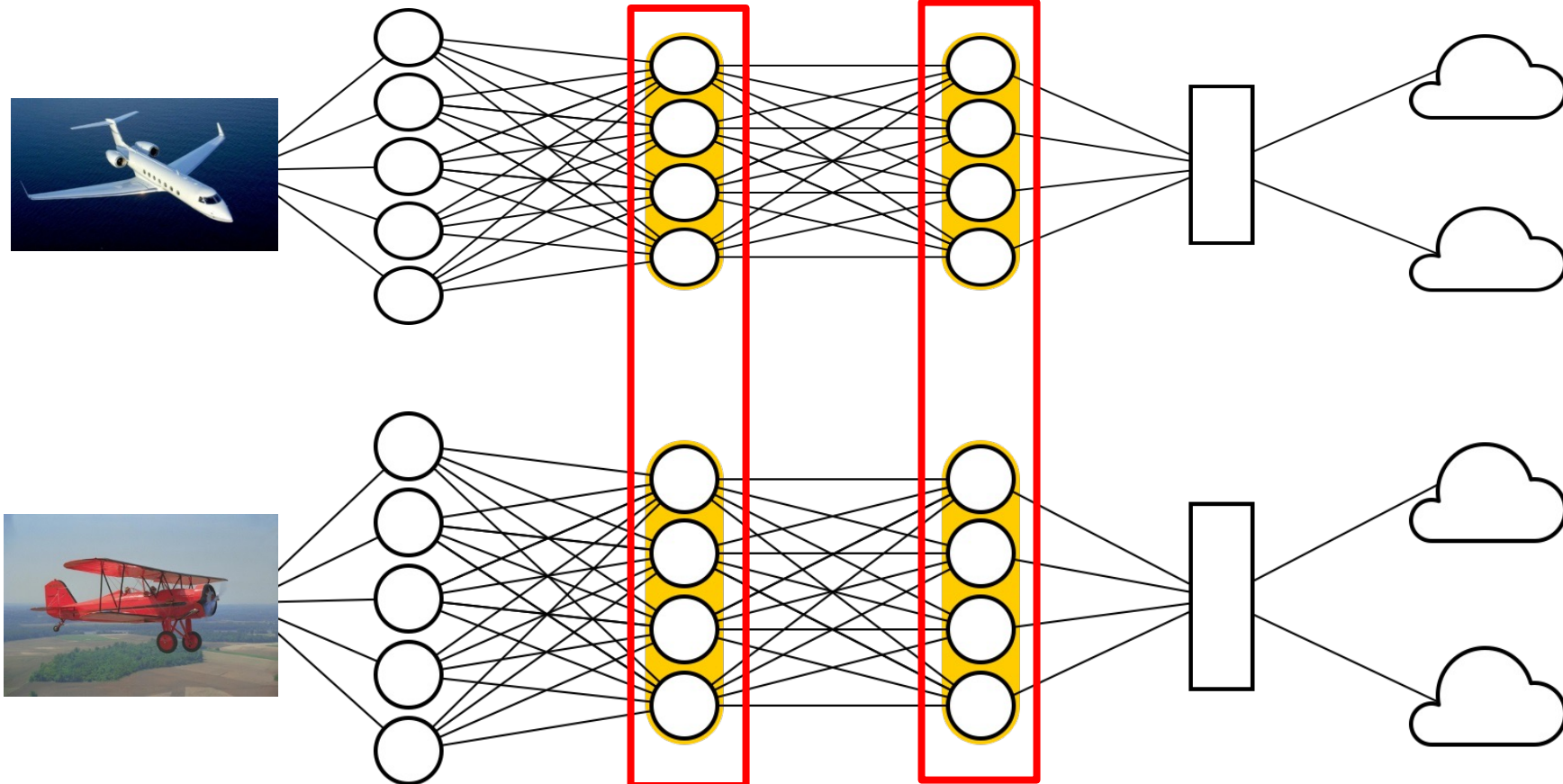
С разных уровней



Множественные реконструкции (разные изображения с одинаковыми признаками)



# Можем использовать для сравнения изображений



# Perception loss

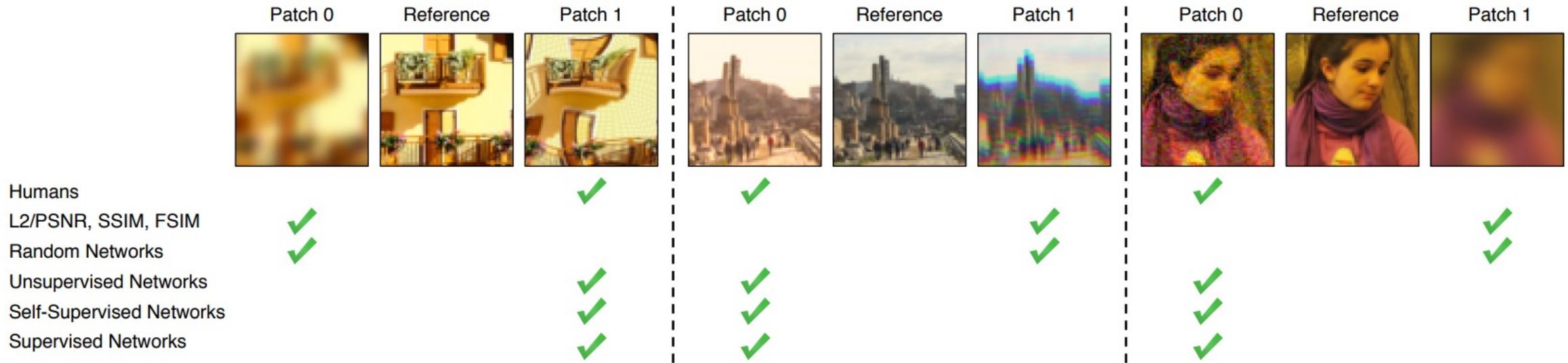


Figure 1: **Which patch (left or right) is “closer” to the middle patch in these examples?** In each case, the traditional metrics (L2/PSNR, SSIM, FSIM) disagree with human judgments. But deep networks, even across architectures (SqueezeNet [20], AlexNet [27], VGG [52]) and supervision type (supervised [47], self-supervised [13, 40, 43, 64], and even unsupervised [26]), provide an *emergent embedding* which agrees surprisingly well with humans. We further calibrate existing deep embeddings on a large-scale database of perceptual judgments; models and data can be found at <https://www.github.com/richzhang/PerceptualSimilarity>.



# Применим для переноса стиля



+



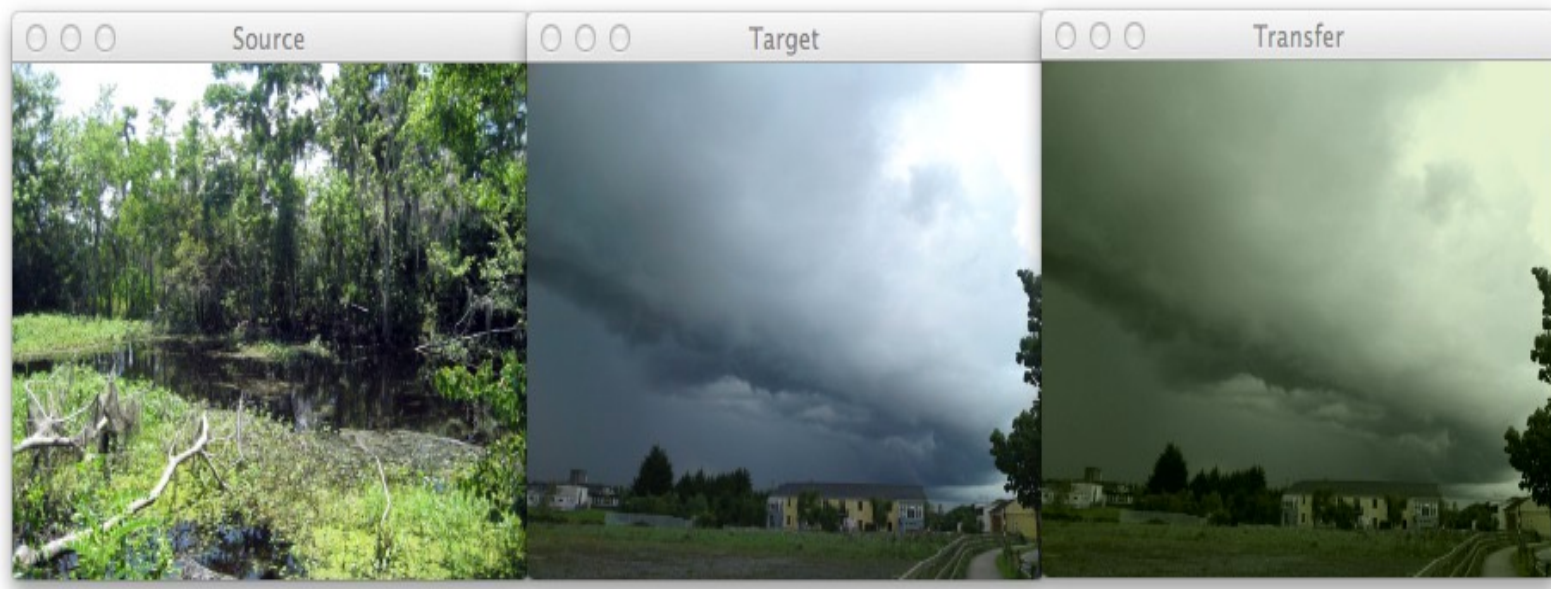
=



# Простейшие методы переноса стиля

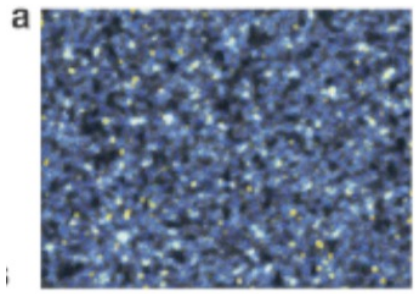


Простейшая стилизация – перенос цвета. Например, среднее и дисперсия по каждом каналу приравнивается к изображению «стиля».



Основная идея – модификация изображения таким образом, чтобы по части признаков оно было похоже на исходное (содержание), а по части – на целевое (стиль)

# Как описать стиль?

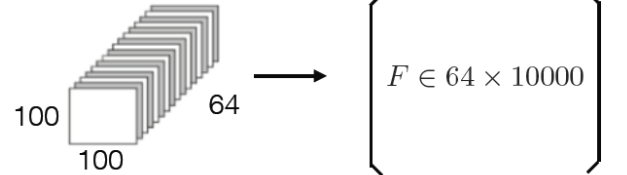


- За описание «стиля» можно взять корреляцию откликов разных фильтров по всему изображению
- Можно вычислить по признакам первых слоёв «стиль» и попробовать реконструировать изображение с тем же стилем

# Реконструкция изображений с заданным стилем



- Стиль можно описать корреляцией откликов фильтров, записав матрицу Грама
- Где  $G_{ij}^l$  вычисляется как скалярное произведение откликов i-го и j-го фильтров:

$$G^l \in \mathcal{R}^{N_l \times N_l}$$

$$G_{ij}^l = \sum_k F_{ik}^l F_{jk}^l$$

- Генерируем изображения со стилем исходного изображения, минимизируя среднеквадратичную разницу между матрицами Грама исходного изображения  $G$  и сгенерированного изображения  $A$  (или суммами по  $L$  первых слоёв)

$$E_l = \frac{1}{Norm} \sum_{i,j} (G_{ij}^l - A_{i,j}^l)^2$$

Cost for style reconstruction

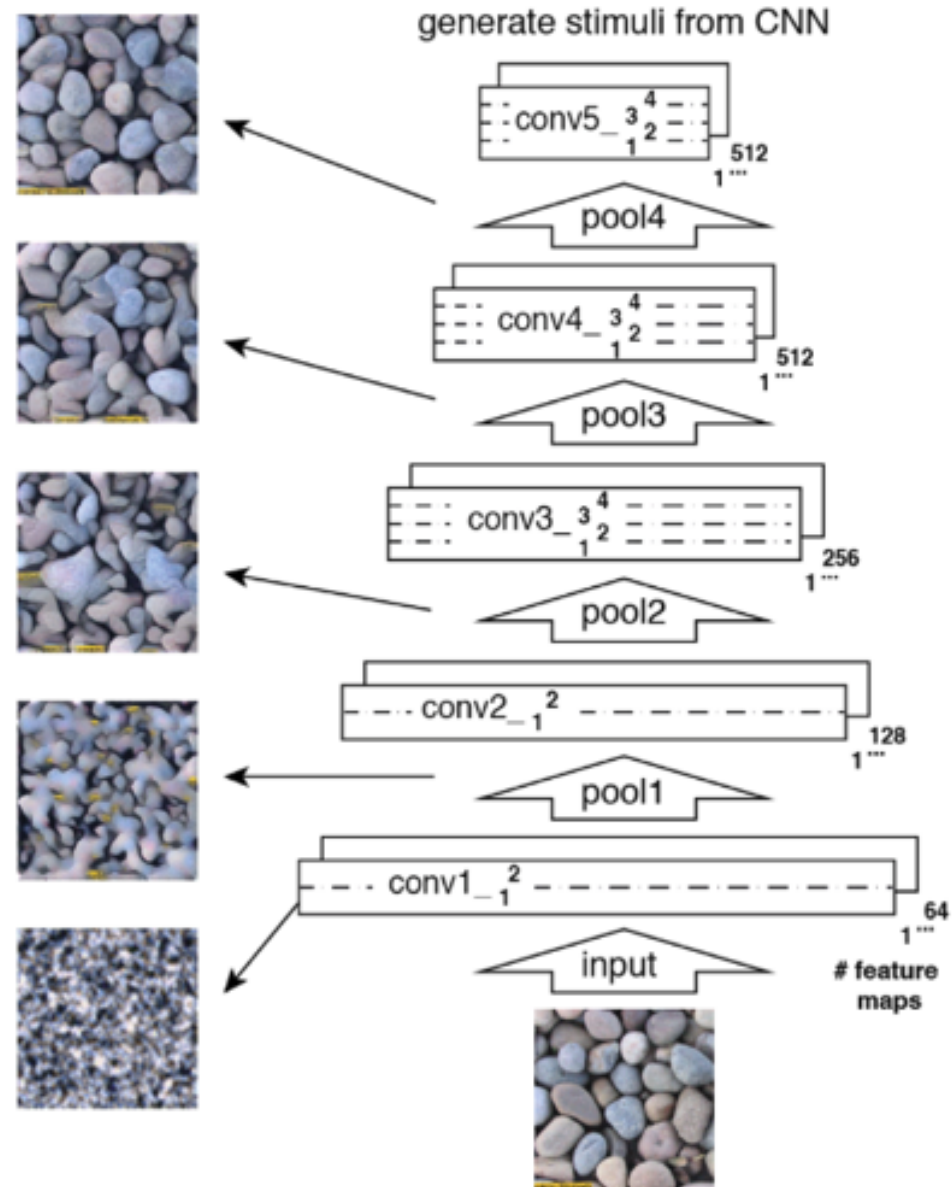
$$Loss_{style} = \sum_{l=0}^L w_l E_l$$

Accumulate cost for lower layers

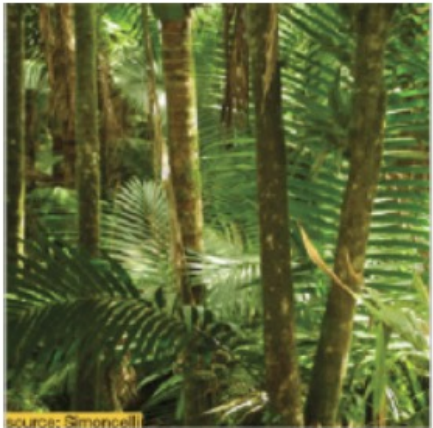
1. A Parametric Texture Model Based on Joint Statistics of Complex Wavelet Coefficients. Portilla, J., & Simoncelli, E. P. *Int. J. Comput. Vis.* 40, 49-70 (2000)
2. Texture Synthesis and The Controlled Generation of Natural Stimuli Using Convolutional Neural Networks. Gatys, L. A., Ecker, A. S., & Bethge, M. *NIPS* (2015)



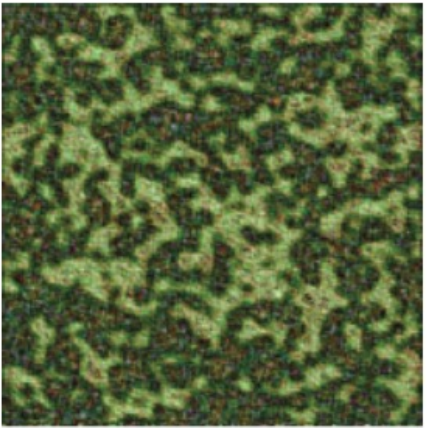
# Реконструкция текстур



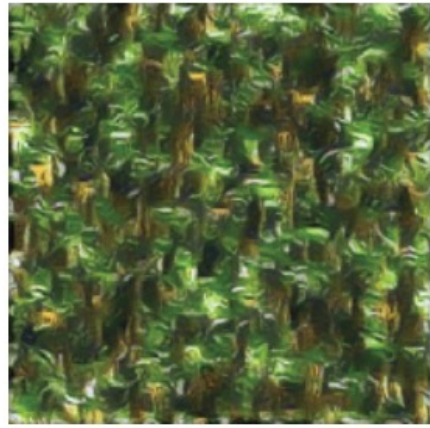
# Пример реконструкции текстур



Original



Up to Conv1\_1 layer



Up to Pool1 layer



Up to Pool2 layer



Up to Pool3 layer



Up to Pool4 layer

# Ключевое наблюдение

---



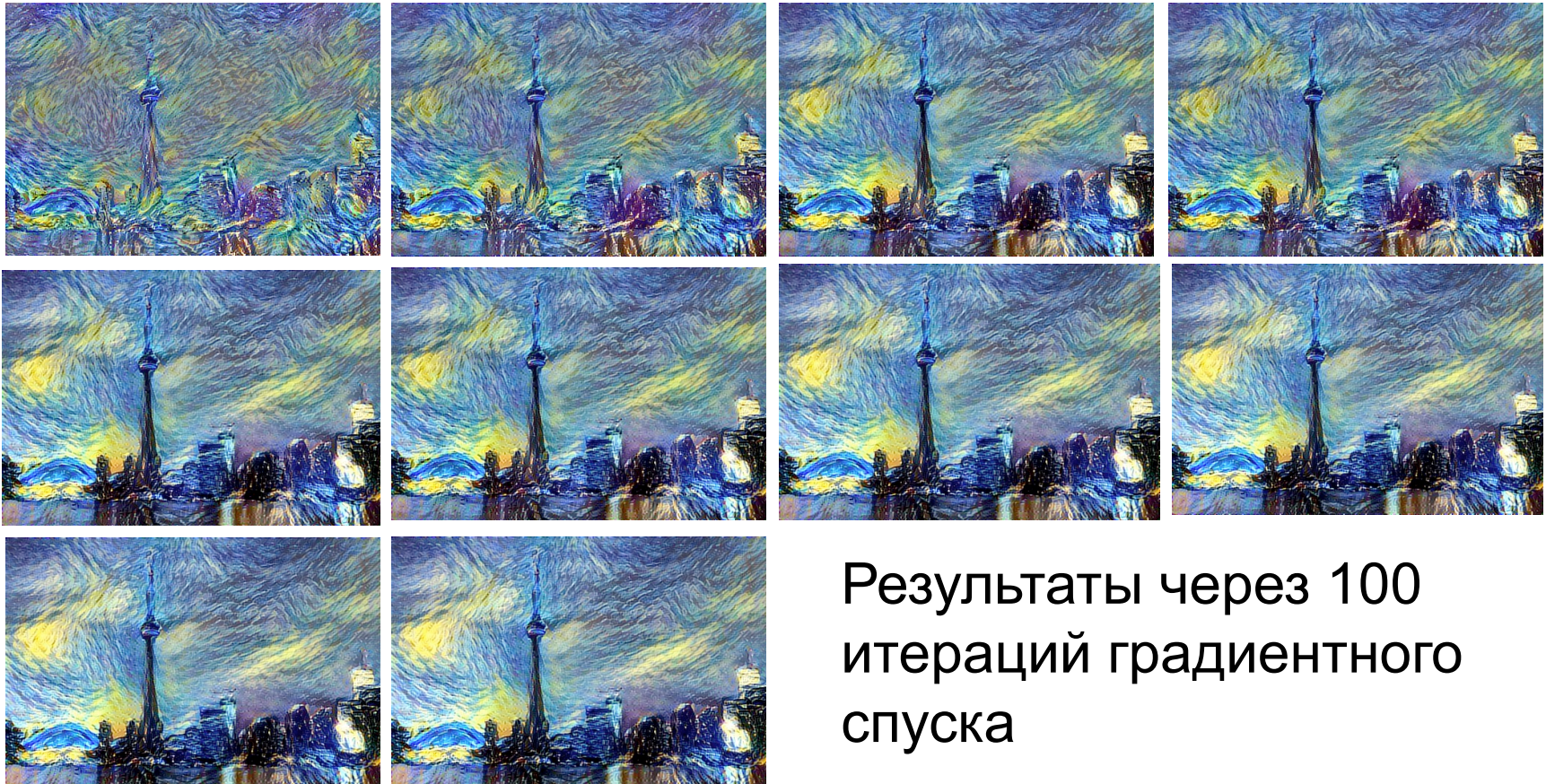
- Содержание изображение и стиль оказываются разделимы в значительной степени
- Верхние слои целиком больше описывают содержание изображения
- Корреляция карт нижних слоёв – стиль изображения
- Можем сгенерировать изображения, начав с белого шума, минимизировав градиентным спуском функционал:

$$\mathcal{L}_{total}(\vec{p}, \vec{a}, \vec{x}) = \alpha \mathcal{L}_{content}(\vec{p}, \vec{x}) + \beta \mathcal{L}_{style}(\vec{a}, \vec{x})$$

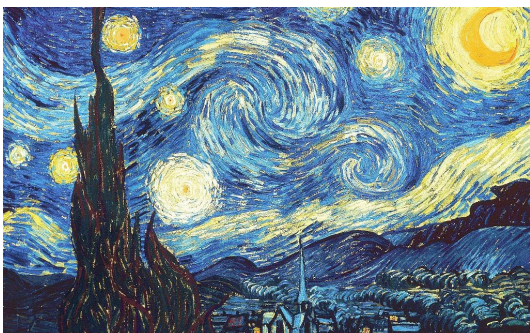
Gatys, Leon A., Alexander S. Ecker, and Matthias Bethge. "A neural algorithm of artistic style." *arXiv preprint arXiv:1508.06576* (2015).



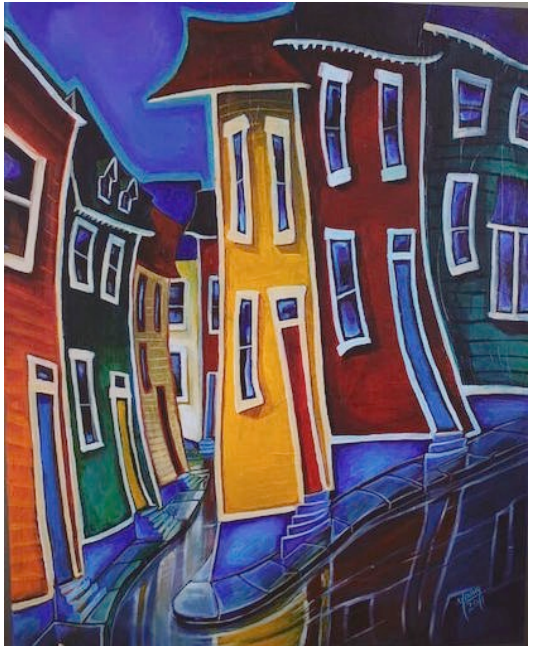
# Визуализация работы



Результаты через 100  
итераций градиентного  
спуска

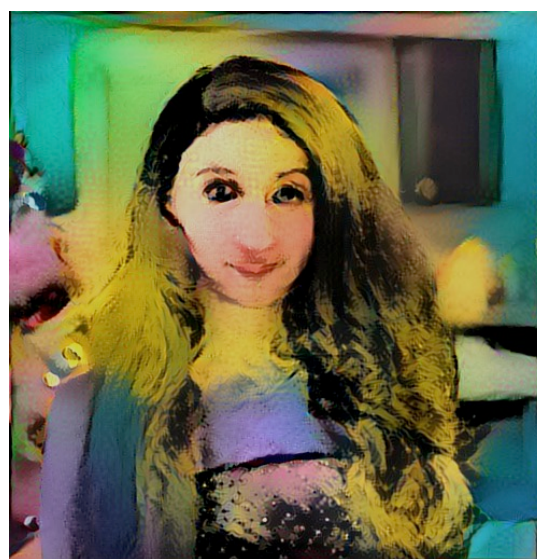


# Пример работы



# Пример работы

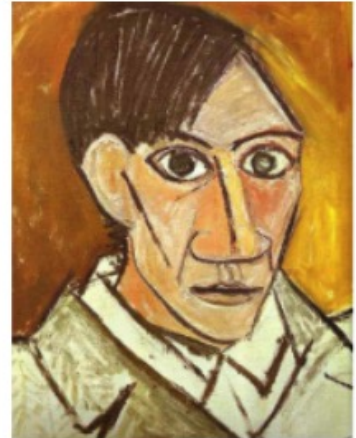
---



# Соотношение стиля и содержания



Used for *Content*



Used for *Style*

$$\mathcal{L}_{total}(\vec{p}, \vec{a}, \vec{x}) = \alpha \mathcal{L}_{content}(\vec{p}, \vec{x}) + \beta \mathcal{L}_{style}(\vec{a}, \vec{x})$$

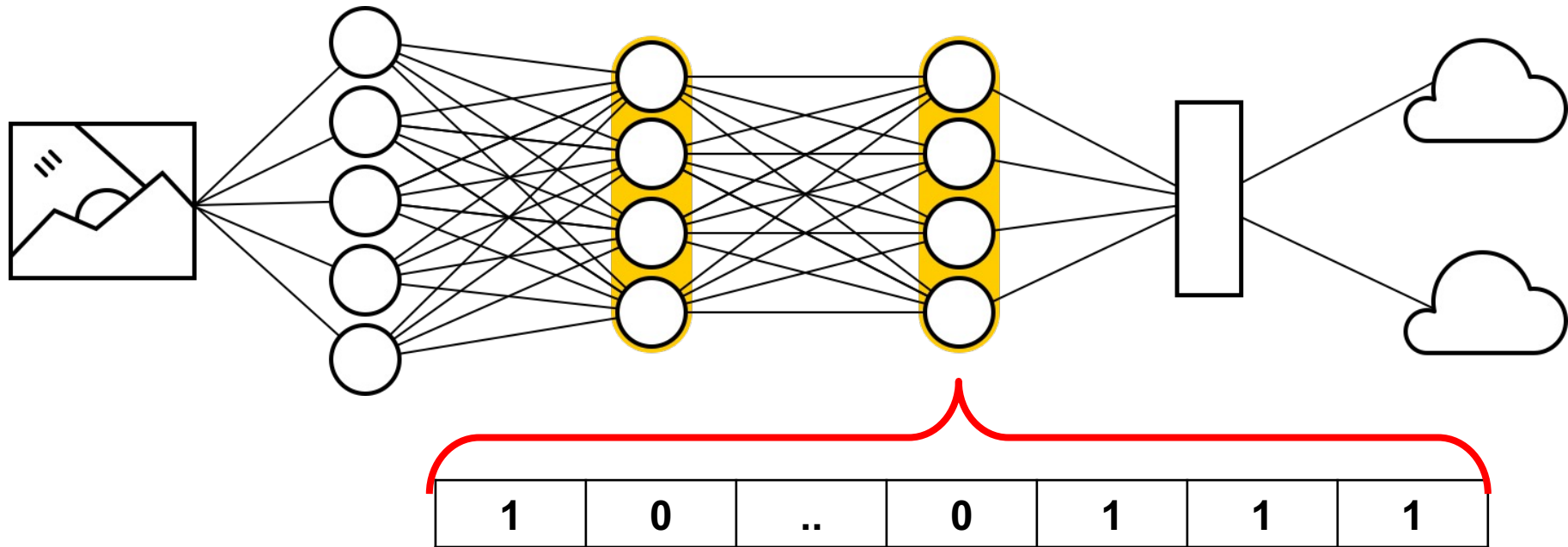


# Deep Feature Interpolation

---



# Идея – манипуляция признаками



- Глубокие нейросети показывают отличные результаты на image classification, используя простые линейные классификаторы
- Значит признаковое пространство получается очень хорошее
- М.б. даже Евклидово?
- Можно работать напрямую в признаковом пространстве



# Схема алгоритма

## Deep Feature Interpolation

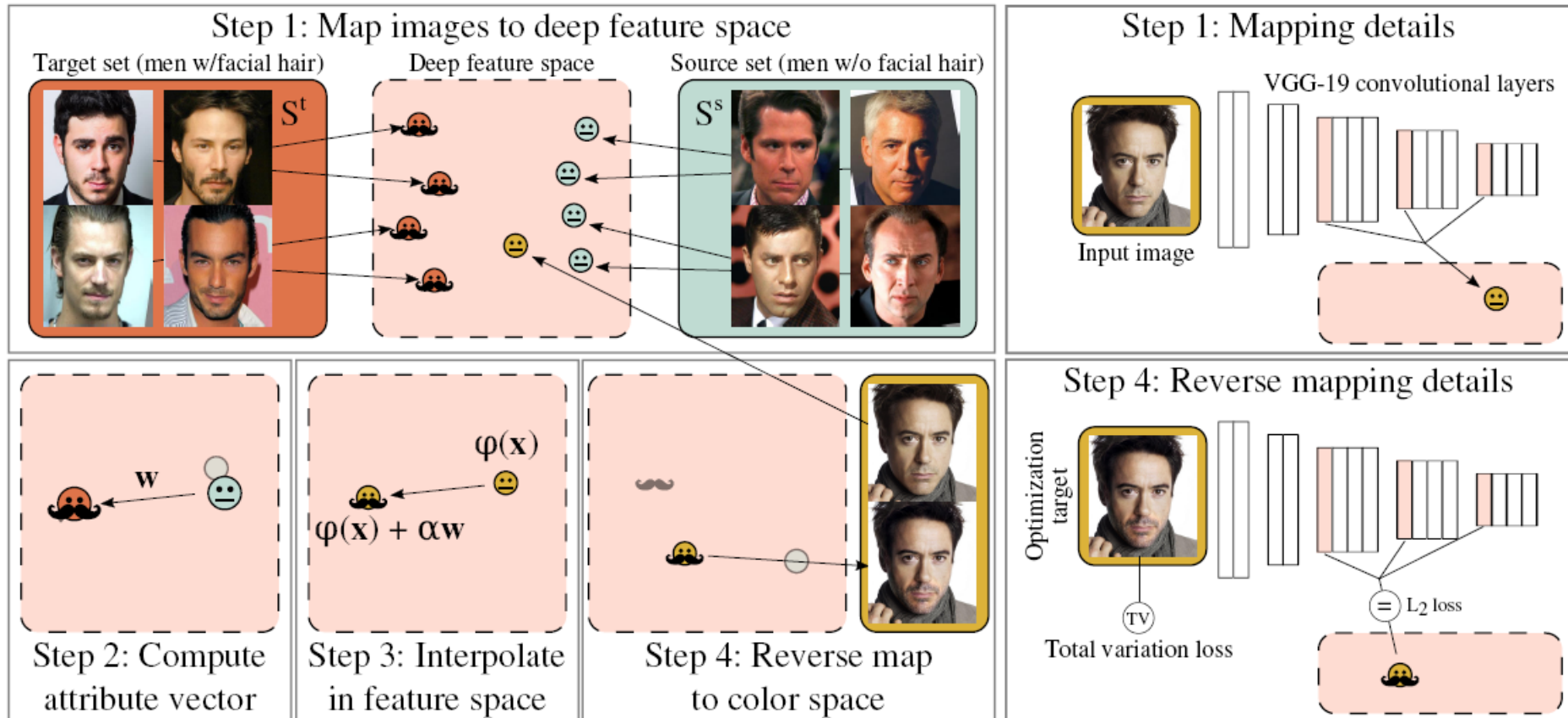
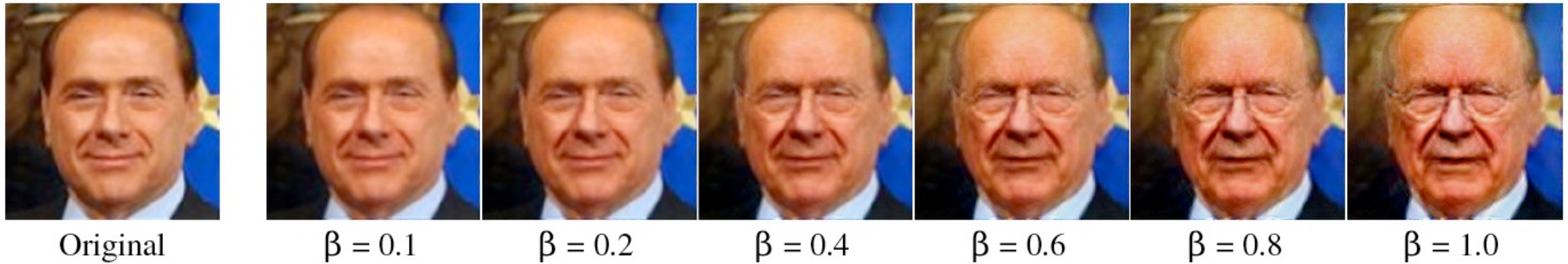


Figure 2. A schematic outline of the four high-level DFI steps.

Используем обычные VGG предобученные на ImageNet

# Варьирование параметра шага



# Пример работы на высоком разрешении



Выравнивание лиц и других атрибутов (мужчина, Caucasian)

- Низкое разрешение – выравнивание глаз и рта на этапе предобработки коллекции
- Высокое разрешение – подгон лиц к тестовому перед сбором source & target набором для расчета вектора преобразования

# Perceptual Loss vs Identity Loss

---

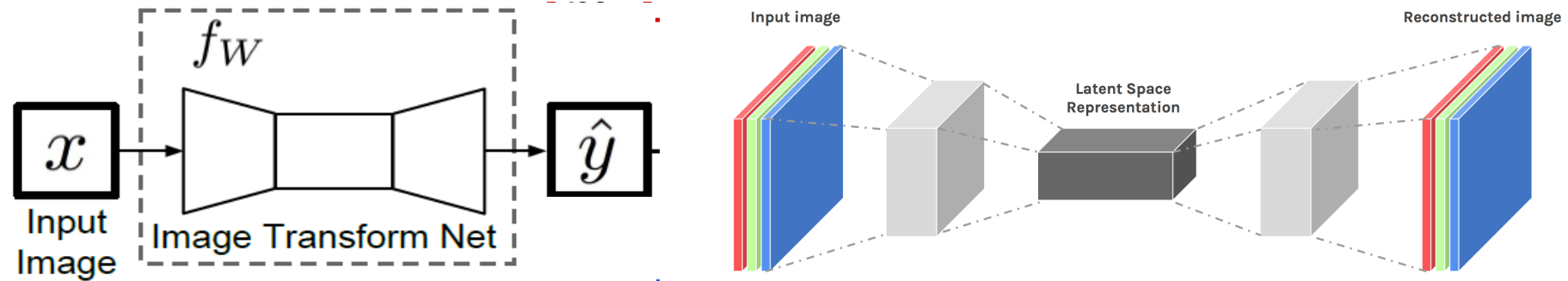


- VGG-face, обученная для распознавания лиц, работала хуже VGG на ImageNet.
- Причина? Такая сеть учится игнорировать изменение просто «внешних» атрибутов (усов, очков), и фокусироваться на чертах лица
- Сравнение по признакам VGG-face даёт Identity Loss, т.е. оценку изменения «личности» человека
- При модификации изображений можно смешивать Perceptual Loss и Identity Loss

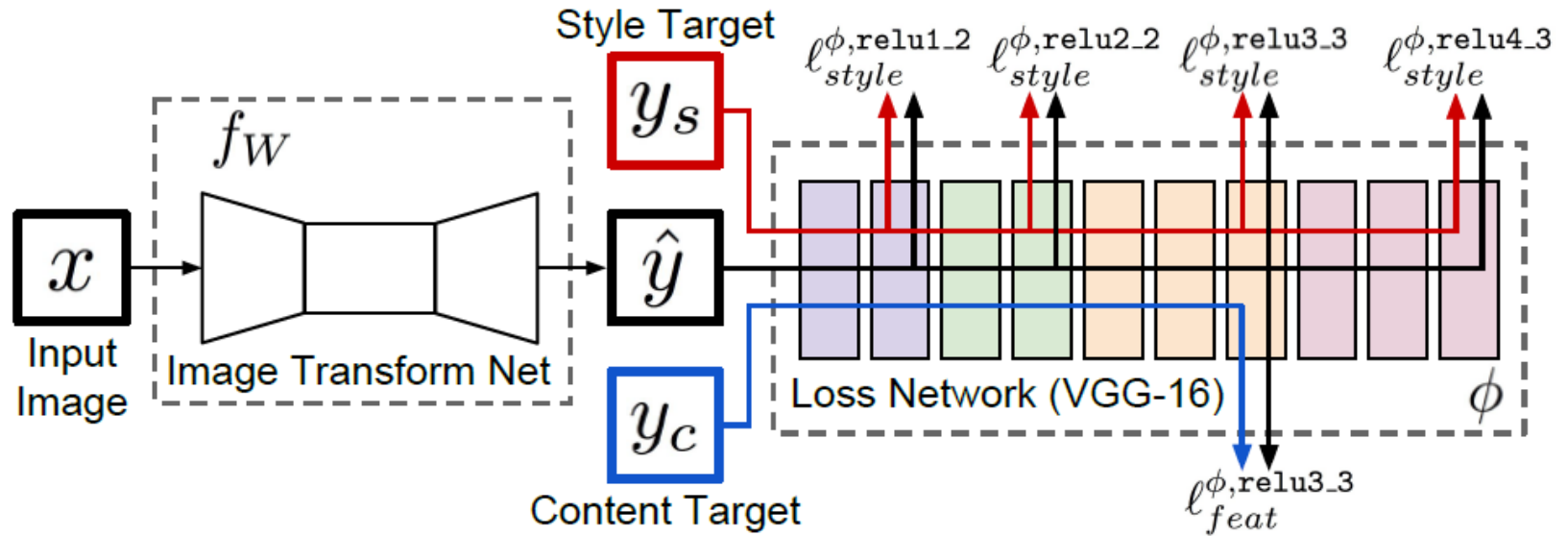
# Стилизация с Perception Loss



- Оптимизация с белого шума идёт медленно
- Идея: воспользоваться сетью-преобразователем
- Оценивать сходство входа и выхода будем через perception loss, стиля – через style loss
- Для каждого стиля нужно обучать свою собственную нейросеть



# Обучение такой сети



- Воспользуемся предобученной на задаче классификации на *imagenet* сетью VGG-16
- Будем использовать её для извлечения признаков, и она будет зафиксирована при обучении трансформационной сети
- Через неё прогоняем изображения  $y_s$  (стиля), и  $y_c=x$  (содержание)



---

*The Muse,*  
Pablo Picasso,  
1935



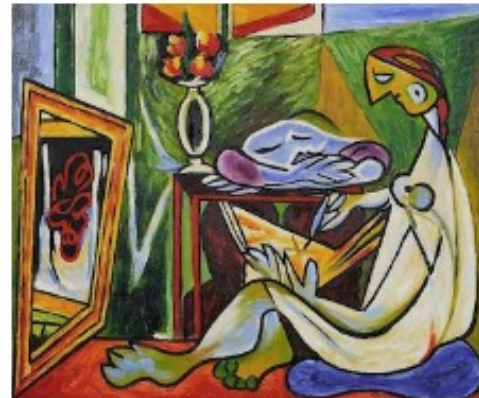
Original



Gatys et al.



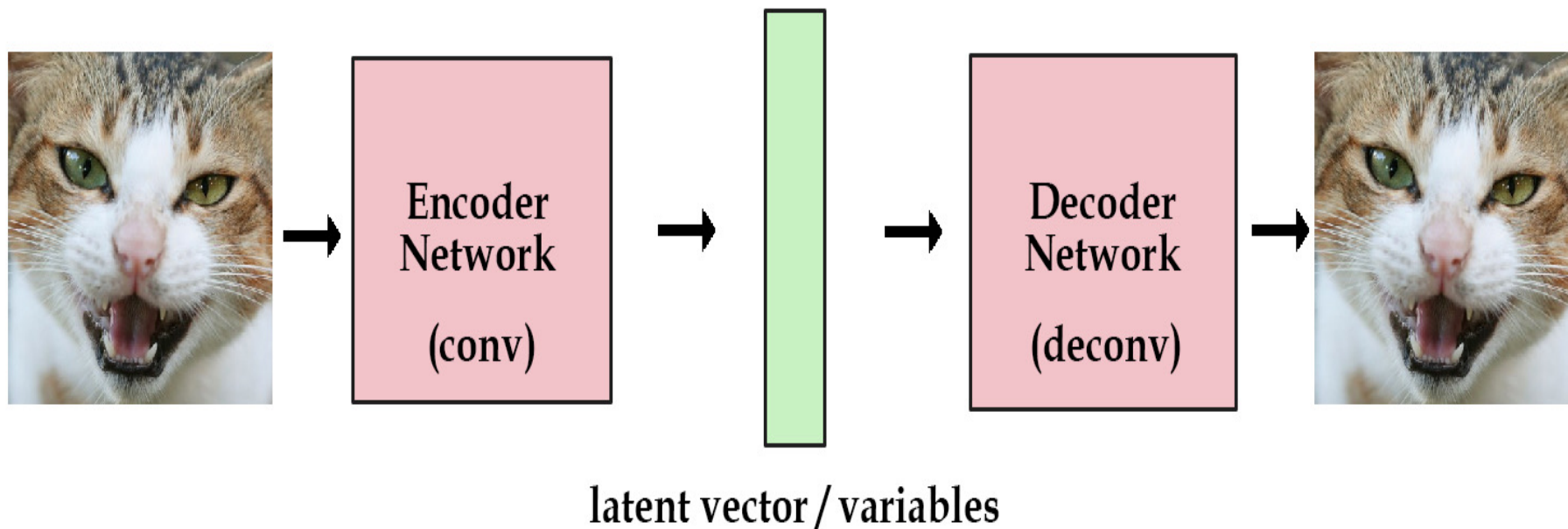
Ours



# Universal Style Transfer [Li et al, 2017]



- Хотим научиться быстро переносить произвольный стиль с помощью сети – преобразователя изображений
- Обучим «автокодировщик» - сеть типа encoder-decoder, которая должна «сжимать» изображение в скрытое (latent) векторное представление  $F$  и декодировать его в исходное «без потерь»
- Будем манипулировать скрытым векторным представлением изображения  $F$
- Обозначим признаки двух картинок  $F_c$  (содержание) и  $F_s$  (стиль). Пусть это матрицы размера [CxA], где С – количество признаков



# Преобразование признаков



- Мы хотим, чтобы у новой картинки матрица Грама совпадала с  $F_S F_S^T$
- Можно показать, что добиться цели можно через линейное преобразование вектор-признака



$$FF^T = I$$

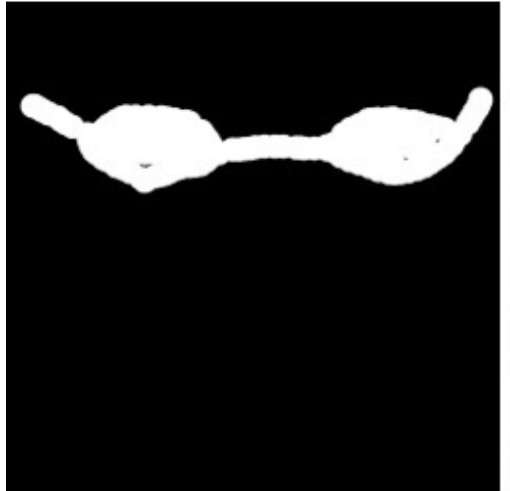
$$FF^T = F_S F_S^T$$

- Делаем в 2 этапа:
  - сначала уберем корреляцию исходных признаков
  - затем приравняем нужные матрицы

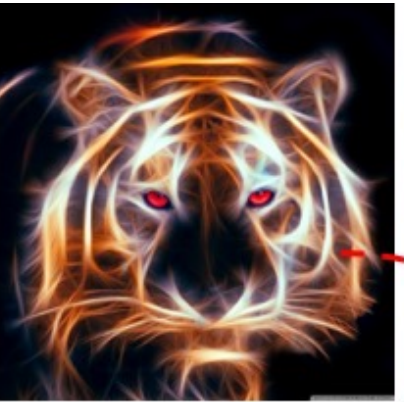
# Смешение стилей



Content



Mask



Style I



Style II



Style transfer result

# Генерация текстур



Замена изображения – содержания на шум



Texture



Scale 256



Scale 512

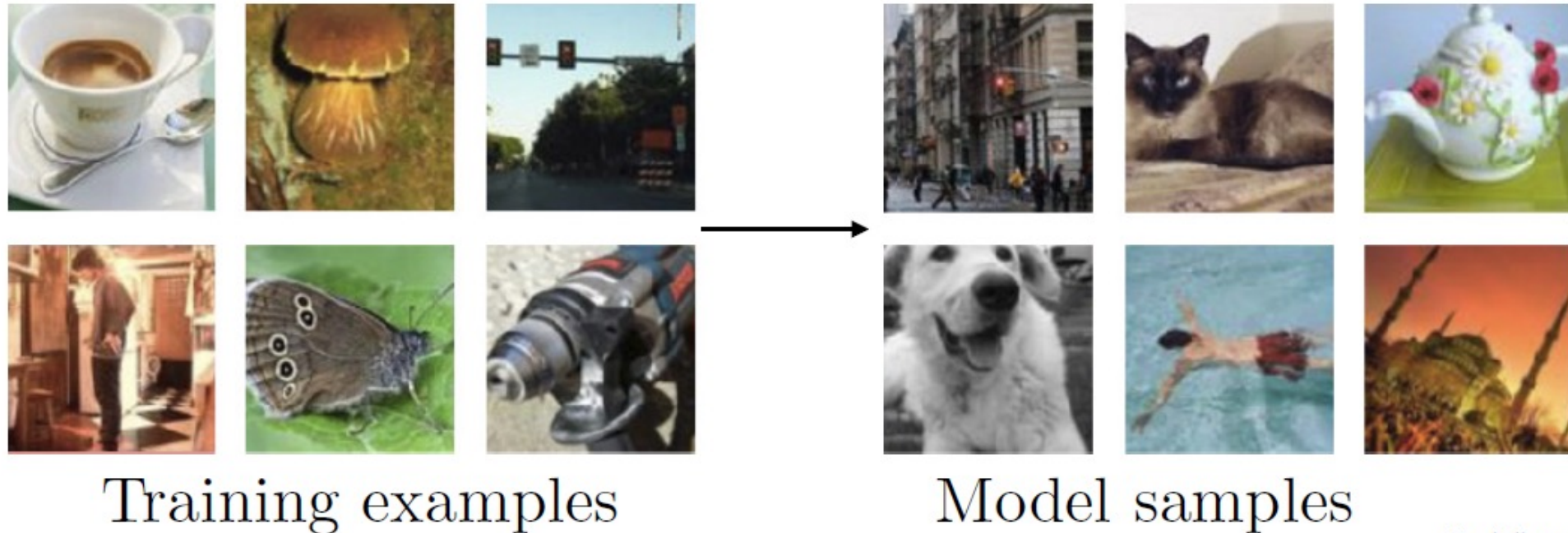


Scale 768

# Синтез изображений и соперничающие сети



Хотим научиться генерировать изображения, похожие на обучающую выборку

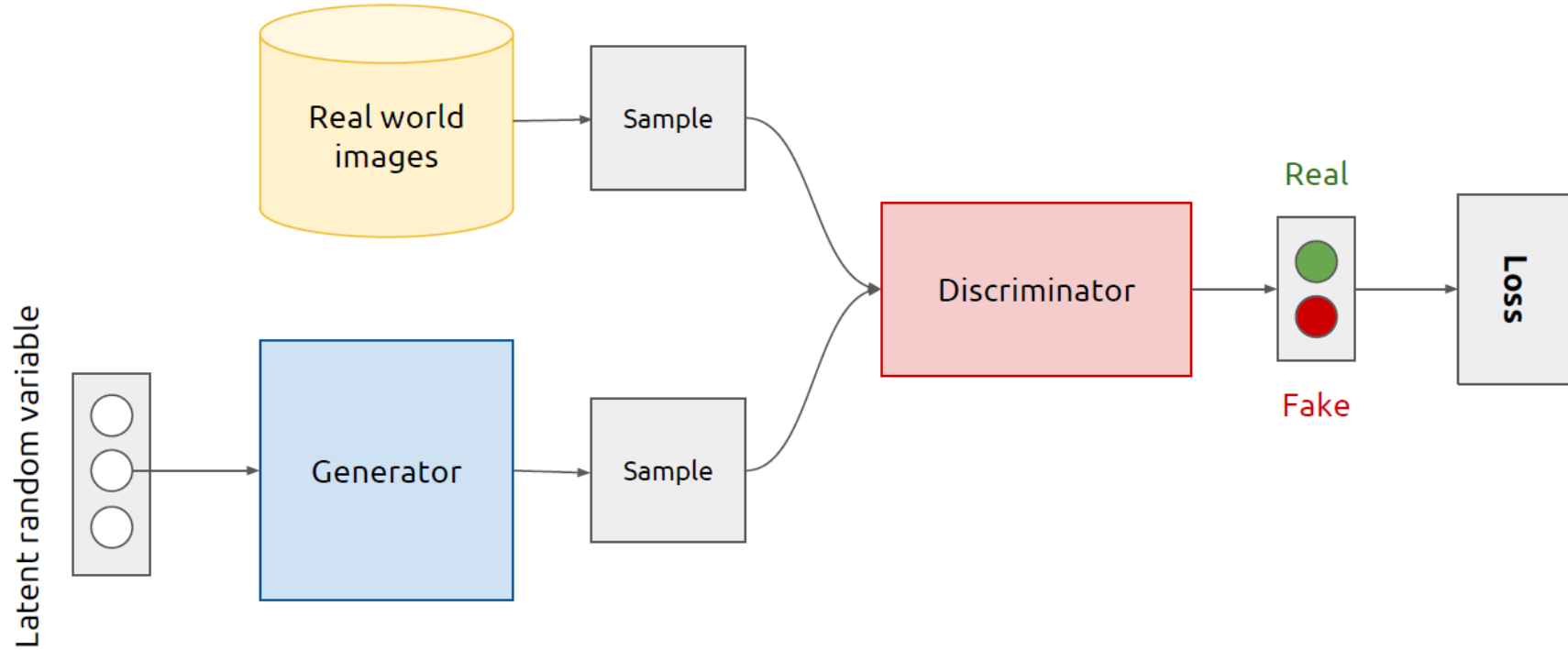


Как проверить, что у нас получилось хорошее, реалистичное изображение?

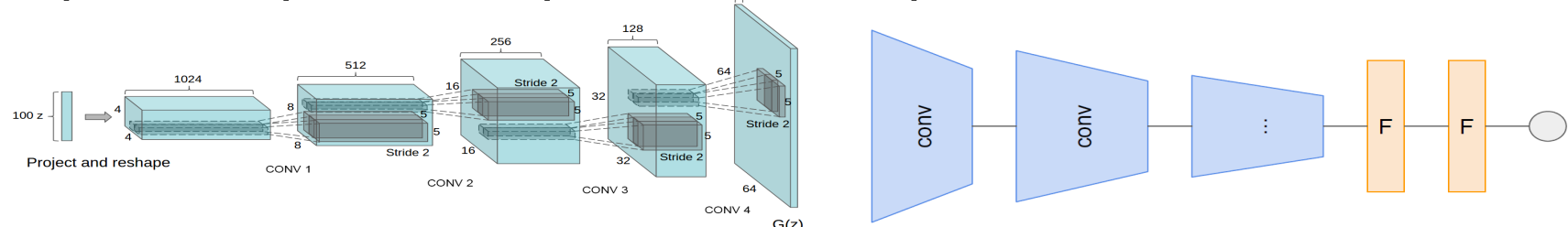
# Общая схема Generative Adversarial Networks (GAN)



Сталкиваем генератор изображений из шума и дискриминатор:



Генератор и дискриминатор обычно нейросети:

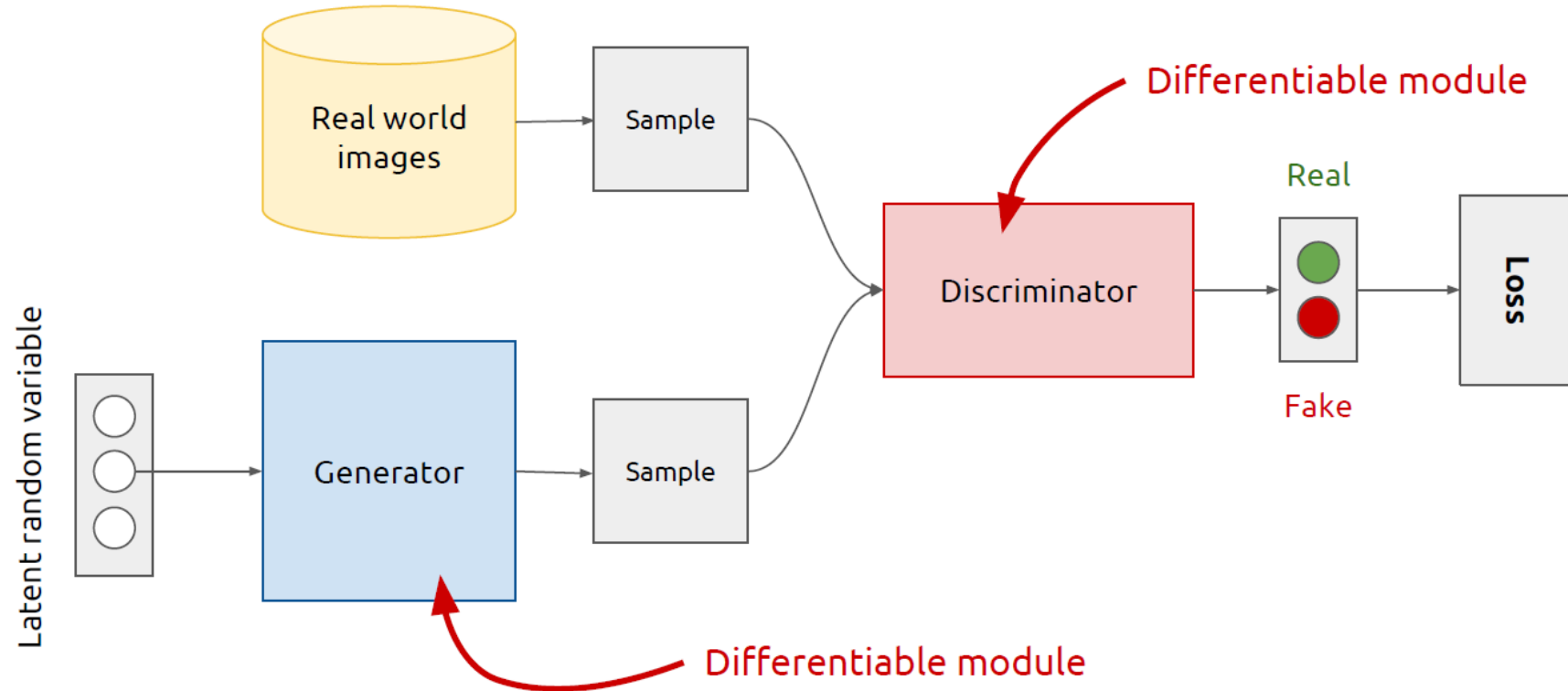


Ian Goodfellow et al, "Generative Adversarial Networks", 2014

# Обучение GAN

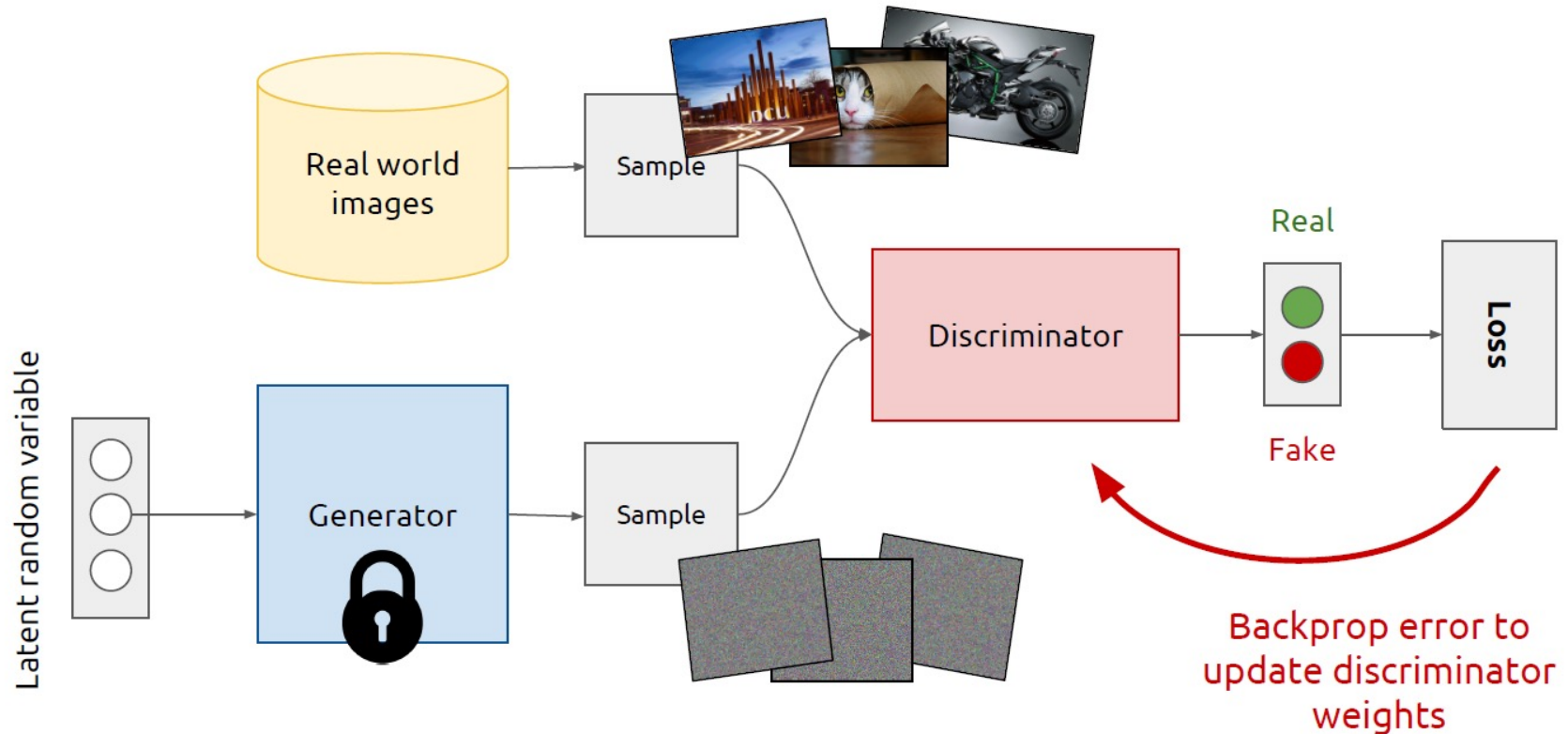


Будем обучать совместно, чередуя обучение дискриминатора и генератора



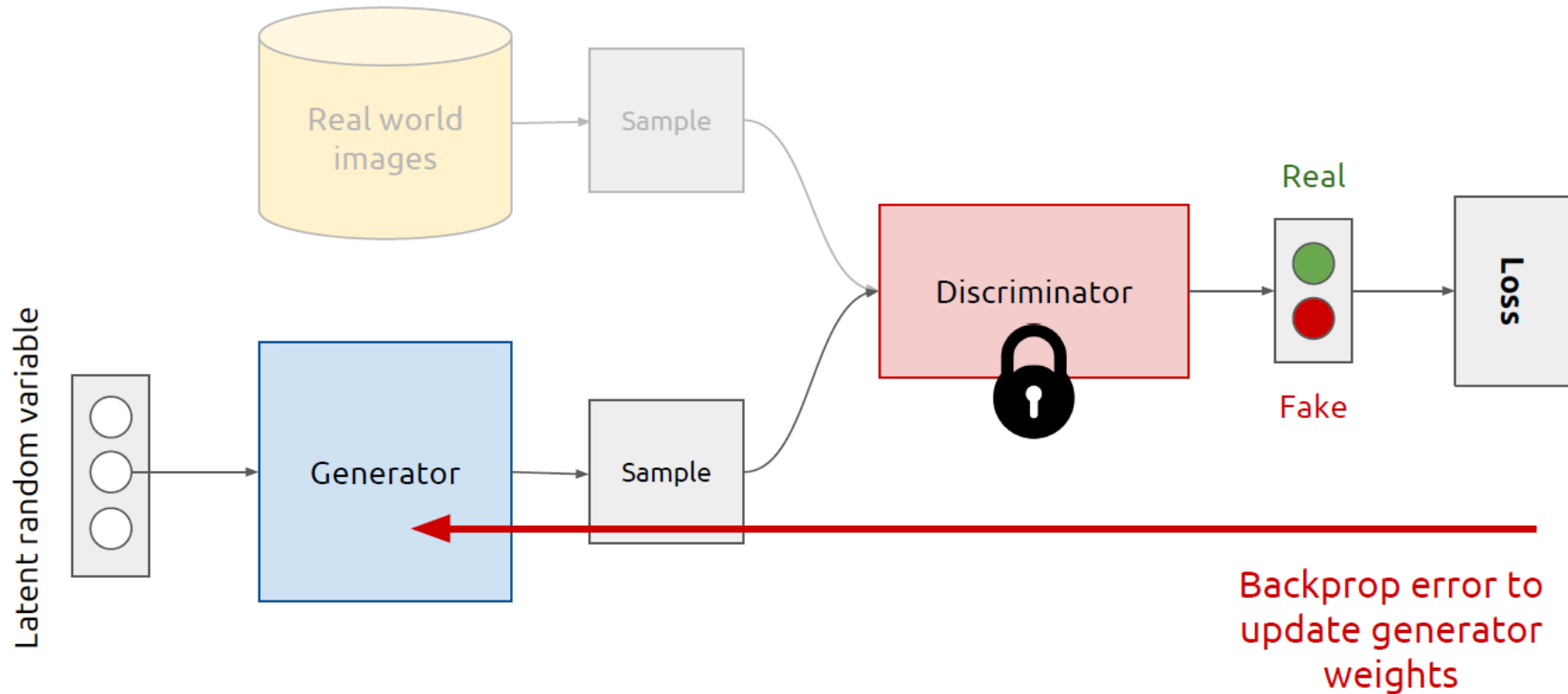
Почему нельзя взять готовый дискриминатор?

# Обучение GAN



- Фиксируем веса генератора
- Берём примеры реальных изображений и синтезированных изображений
- Учим дискриминатор из различать

# Обучение GAN



- Фиксируем веса дискриминатора
- Генерируем примеры генератором
- Распространяем ошибку от дискриминатора

# Результаты



7	3	9	3	9	9
1	1	0	6	0	0
0	1	9	1	2	2
6	9	2	0	8	8

a)



b)

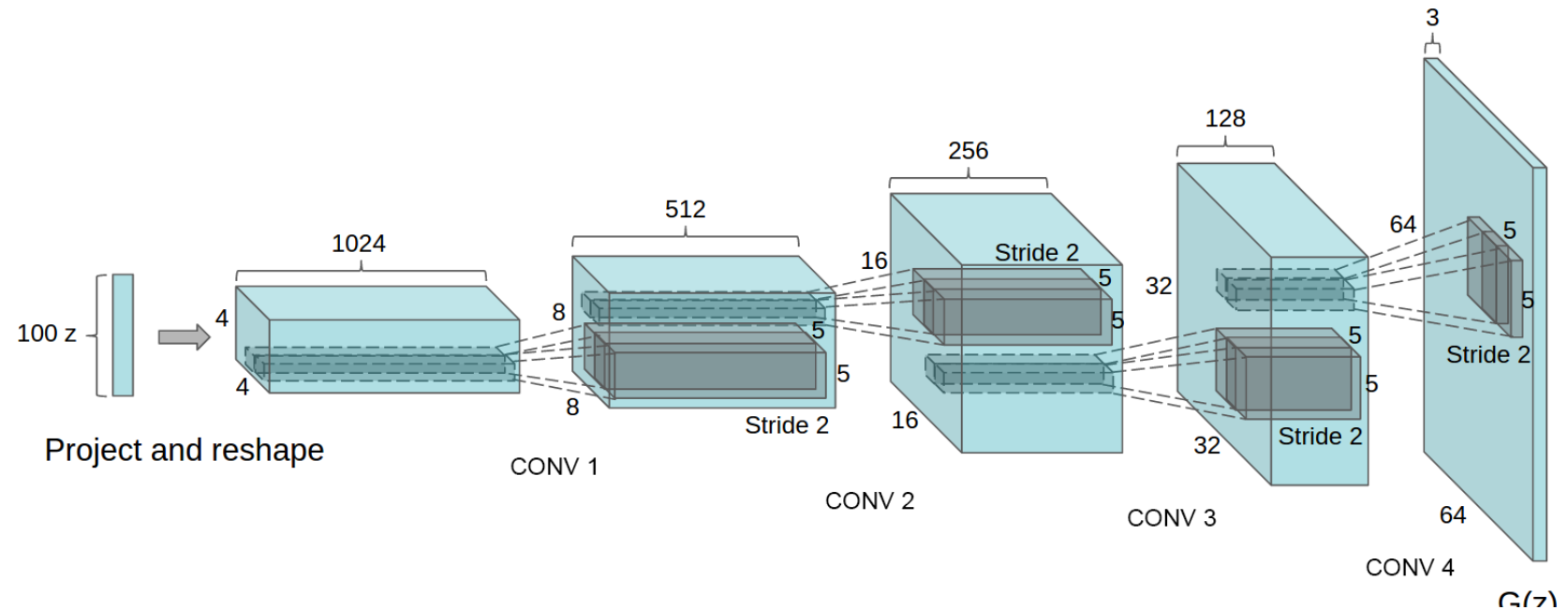


c)



d)

# DCGAN



## Architecture guidelines for stable Deep Convolutional GANs

- Replace any pooling layers with strided convolutions (discriminator) and fractional-strided convolutions (generator).
- Use batchnorm in both the generator and the discriminator.
- Remove fully connected hidden layers for deeper architectures.
- Use ReLU activation in generator for all layers except for the output, which uses Tanh.
- Use LeakyReLU activation in the discriminator for all layers.

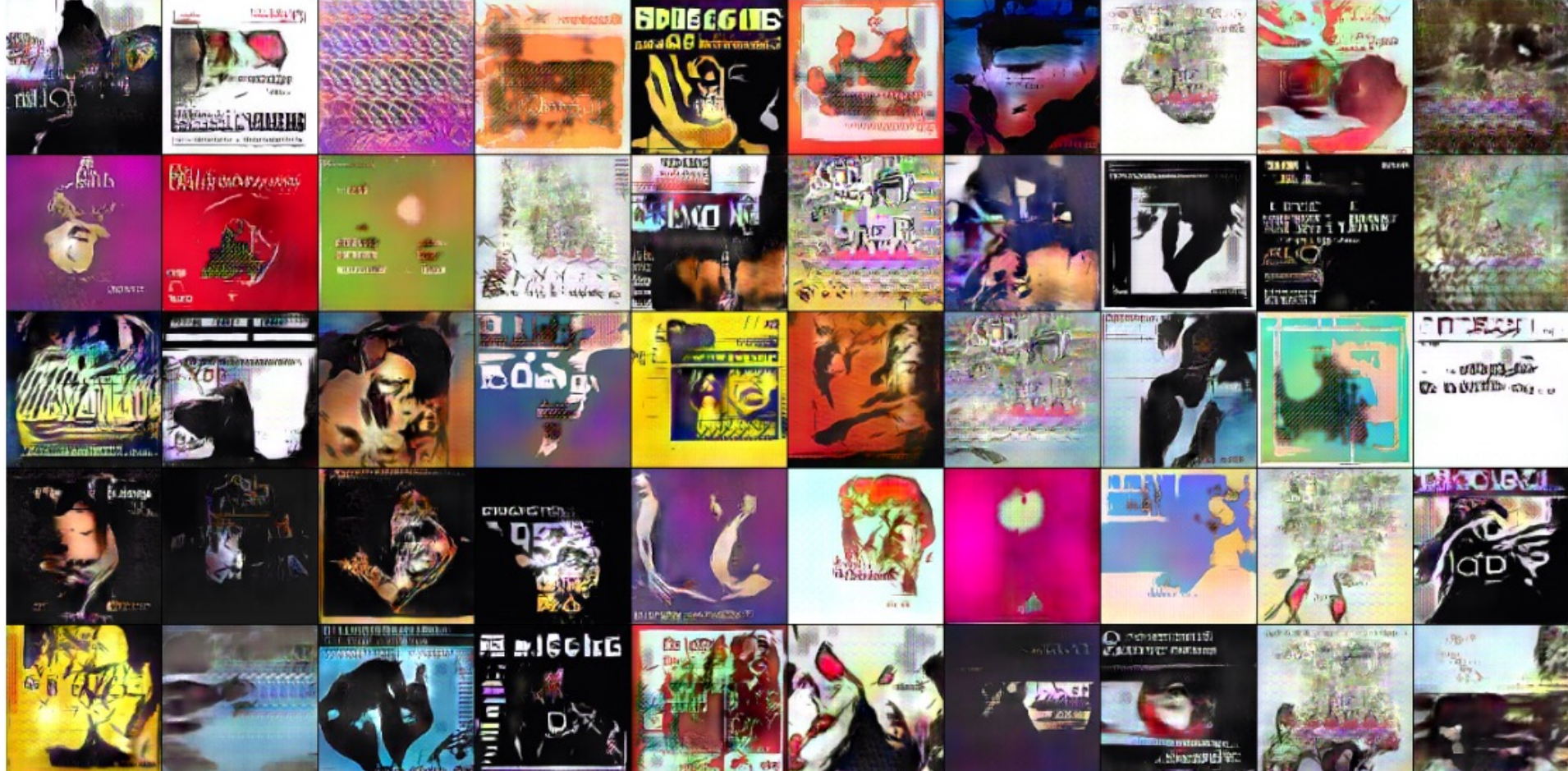


# Примеры - лица

---



# Примеры – обложки альбомов



# Примеры - спальни

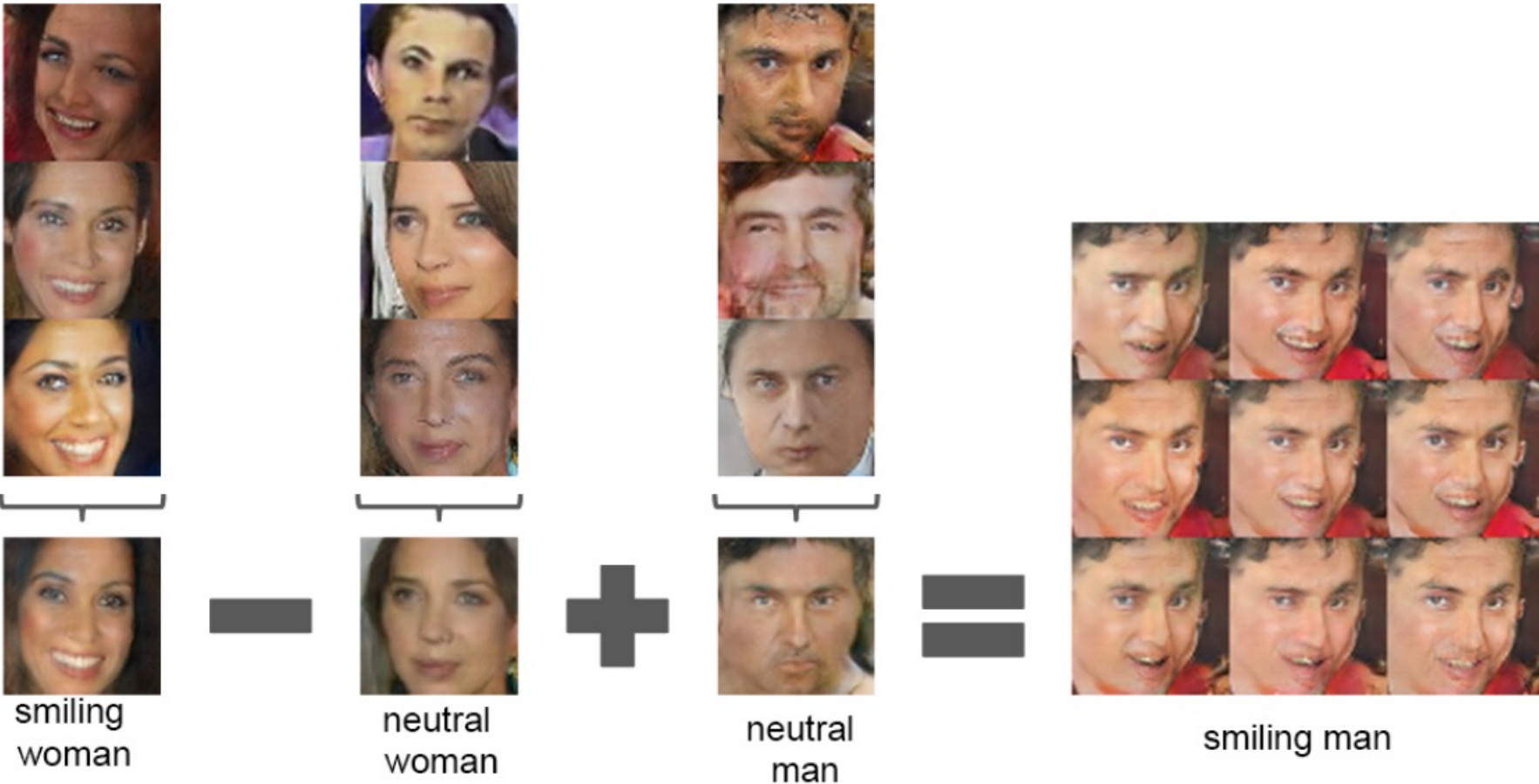


# Изучение представления



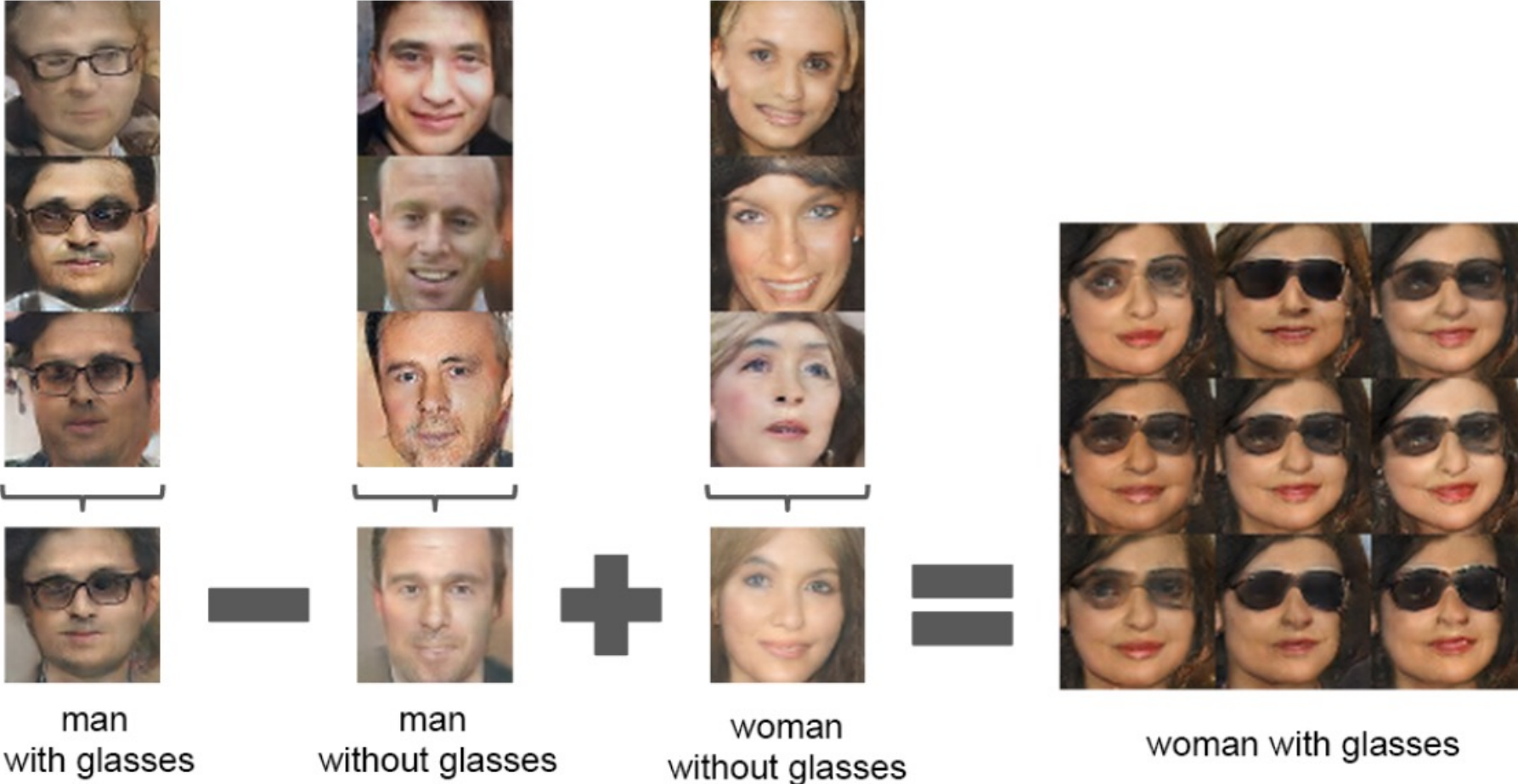
- Поиск фильтров, которые соответствуют определённым объектам
  - Логистическая регрессия по активациям фильтров внутри нарисованных областей
- Обнуление фильтров, которые были выбраны как соответствующие объектам
- На изображениях «исчезли» окна при некотором ухудшении качества
- Мораль – получаем представление, в котором за разные объекты отвечают разные фильтры

# Векторная арифметика

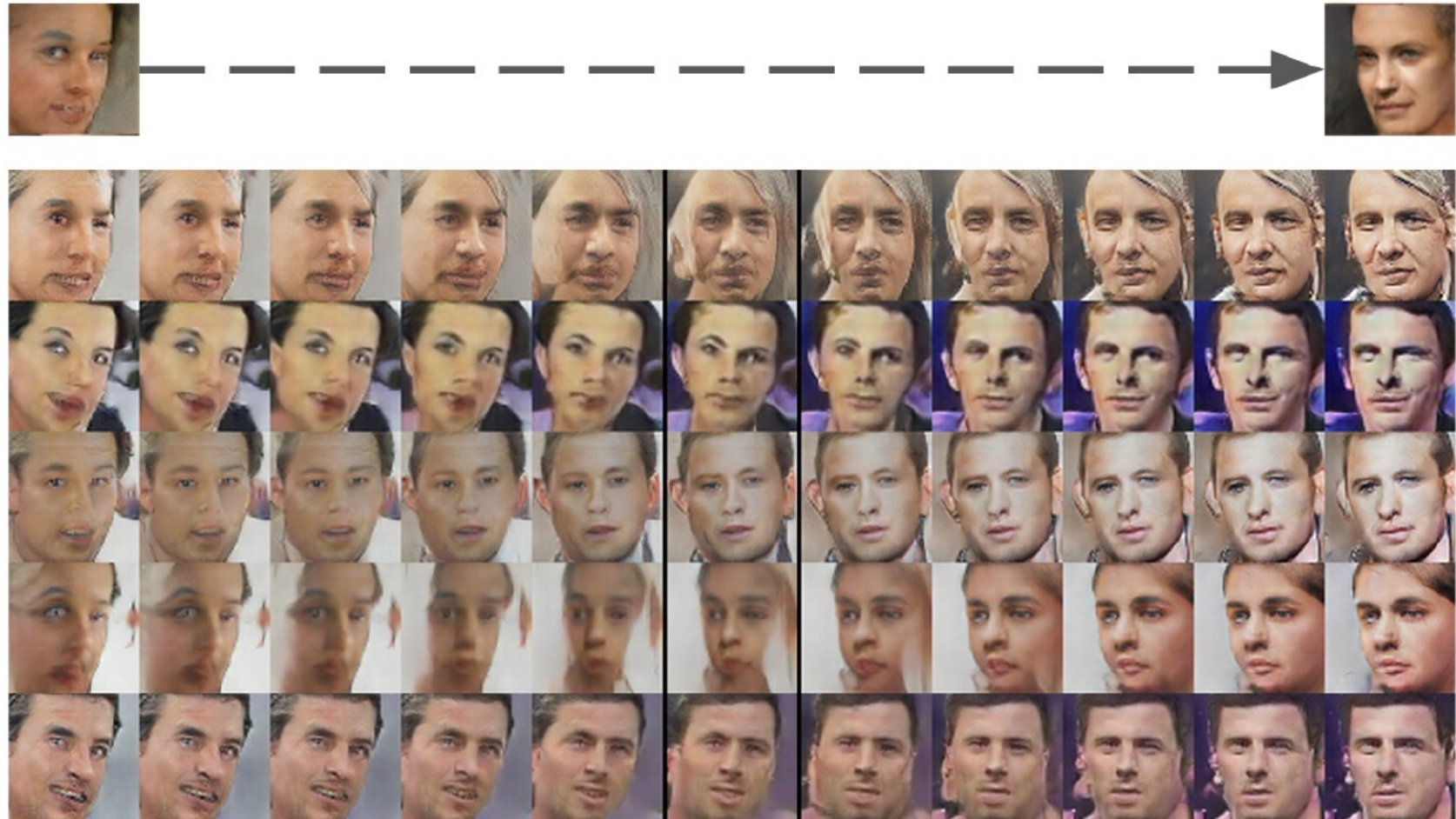


- Работа с z-векторами, которые использовались для генерации изображений
- Отдельные вектора нестабильны, поэтому сумма по 3м изображениям

# Векторная арифметика



# Векторная арифметика

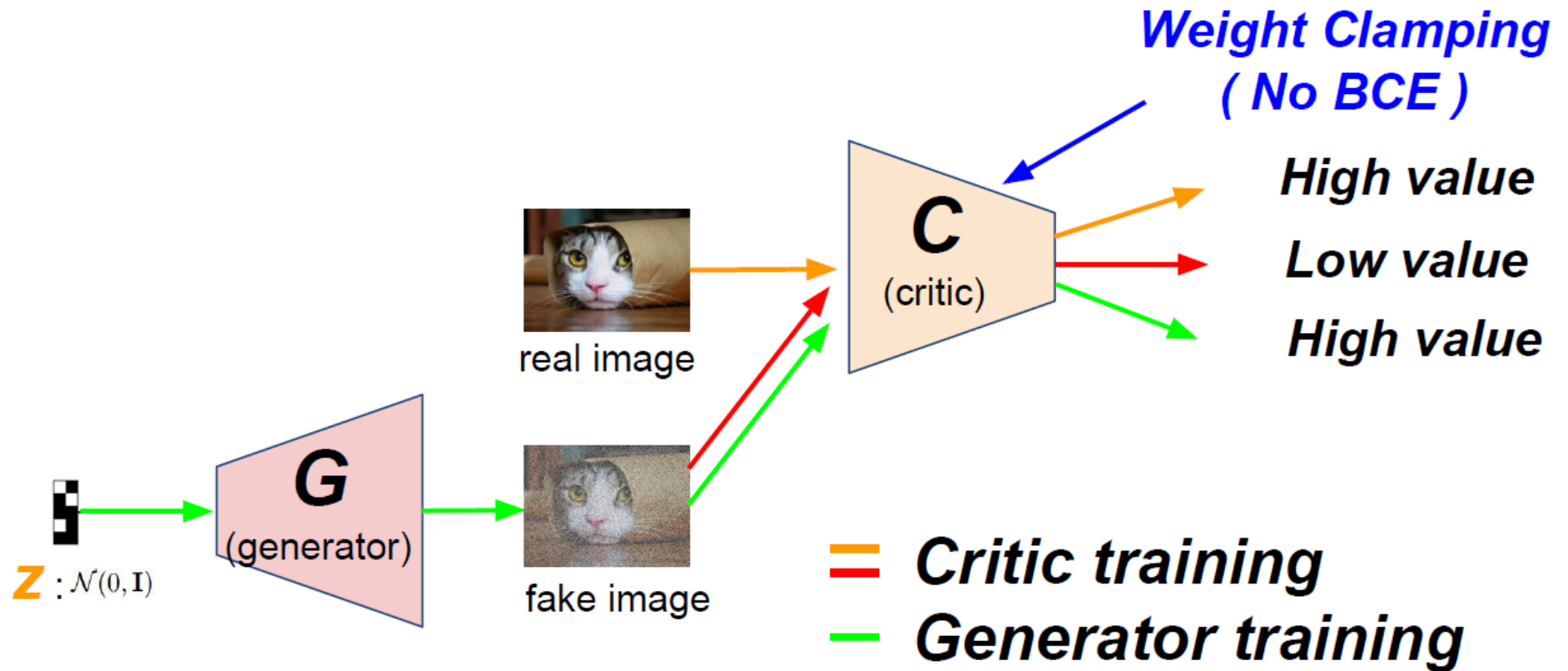


- Вектор «поворота» как разница между усреднёнными векторами 4x изображений с лицами повернутыми налево и 4мя направо

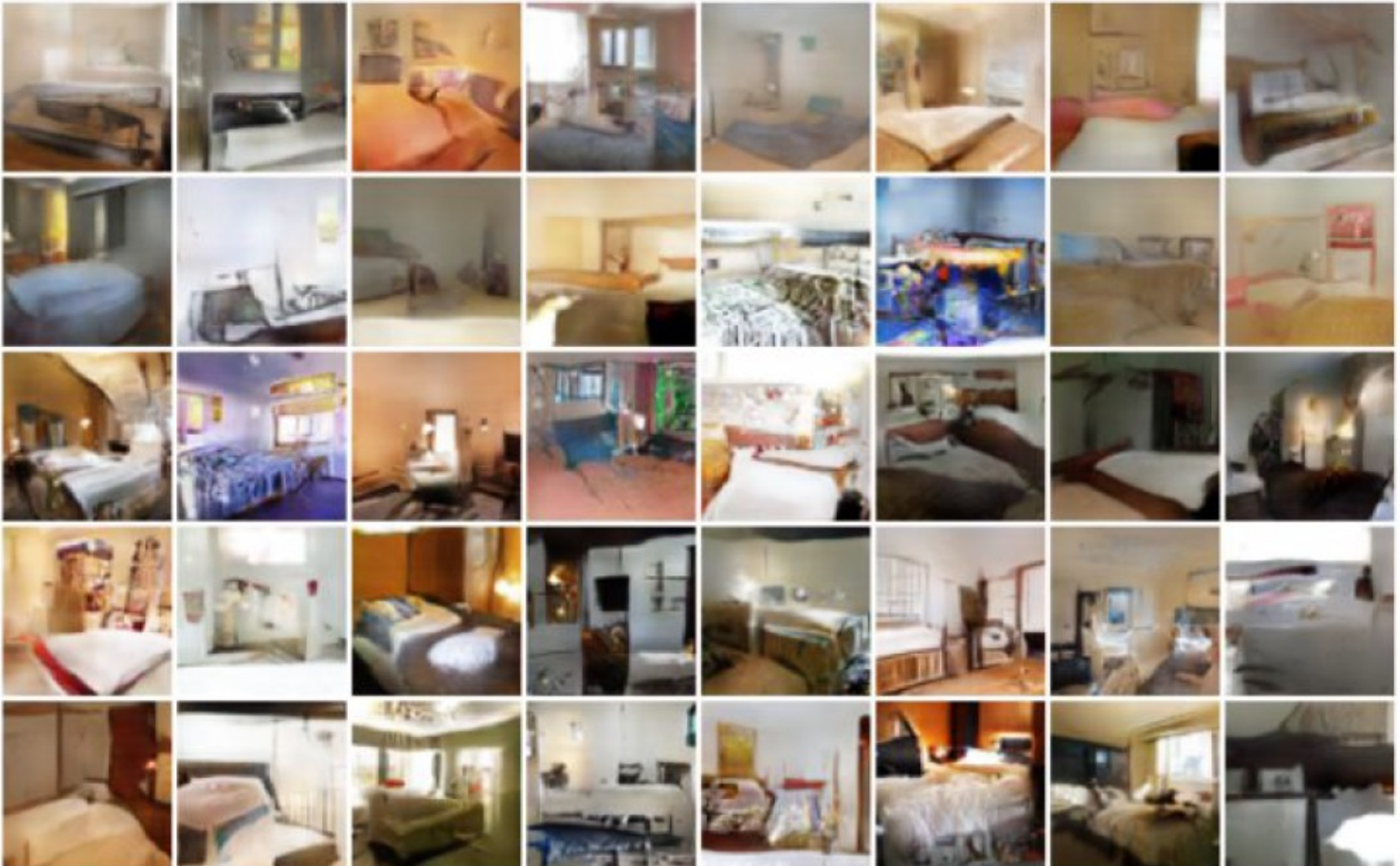
# Wasserstein GAN



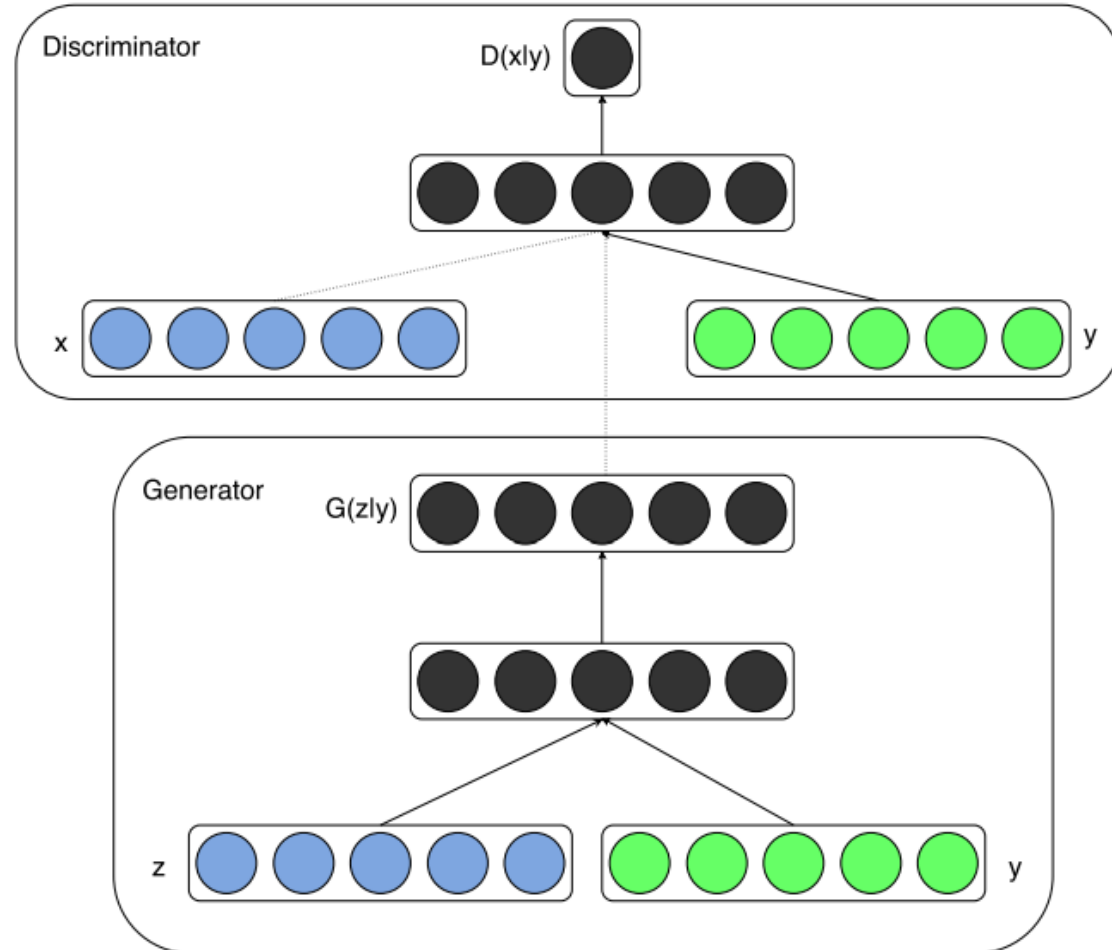
- Martin et al, Wasserstein GAN, 2017



# Примеры работы

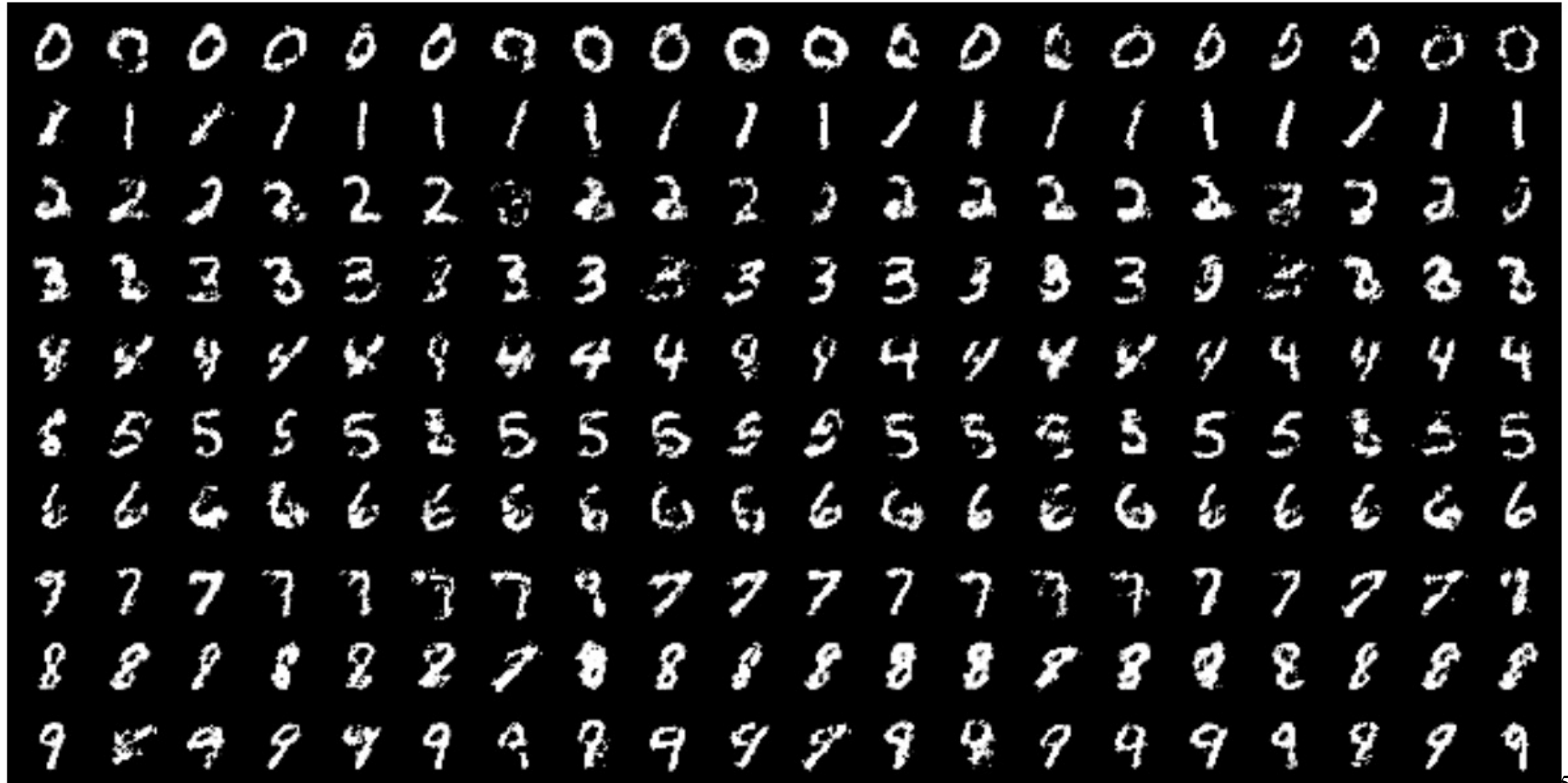


# Conditional GAN

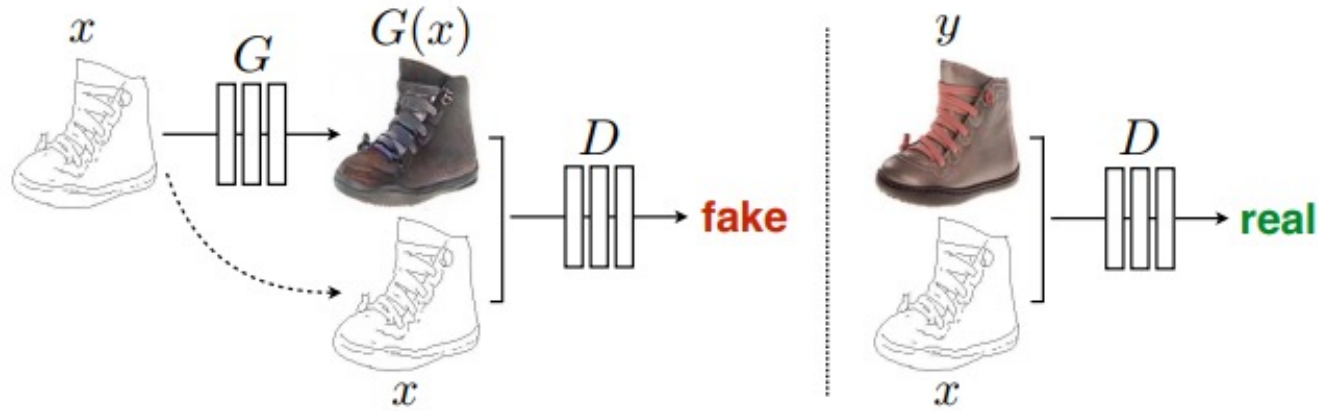


Mirza, Mehdi, and Simon Osindero. "Conditional generative adversarial nets." *arXiv preprint arXiv:1411.1784* (2014).

# Conditional GAN на MNIST



# Pix2Pix для преобразования изображений



$$G^* = \arg \min_G \max_D \mathcal{L}_{cGAN}(G, D) + \lambda \mathcal{L}_{L1}(G)$$

$$\mathcal{L}_{L1}(G) = \mathbb{E}_{x,y,z} [\|y - G(x, z)\|_1] \quad \mathcal{L}_{cGAN}(G, D) = \mathbb{E}_{x,y} [\log D(x, y)] + \mathbb{E}_{x,z} [\log(1 - D(x, G(x, z)))]$$

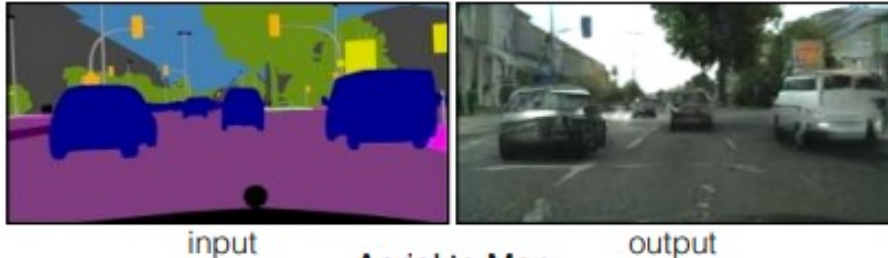
Isola, Phillip, et al. "Image-to-image translation with conditional adversarial networks." *arXiv preprint* (2017).

# Pix2Pix

---



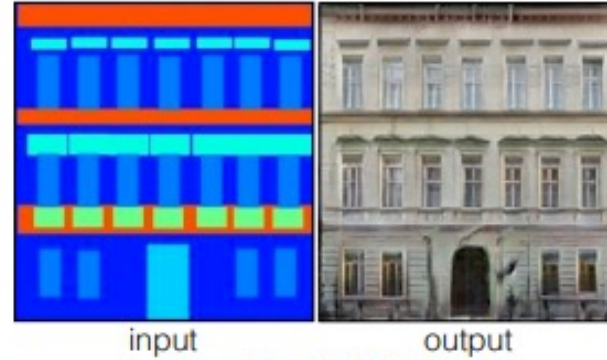
Labels to Street Scene



input

output

Labels to Facade



input

output

BW to Color



input

output

Aerial to Map



input

output

Day to Night



input

output

Edges to Photo



input

output

# Pix2Pix



# Pix2Pix

---



Input



Ground truth



Output



Input



Ground truth



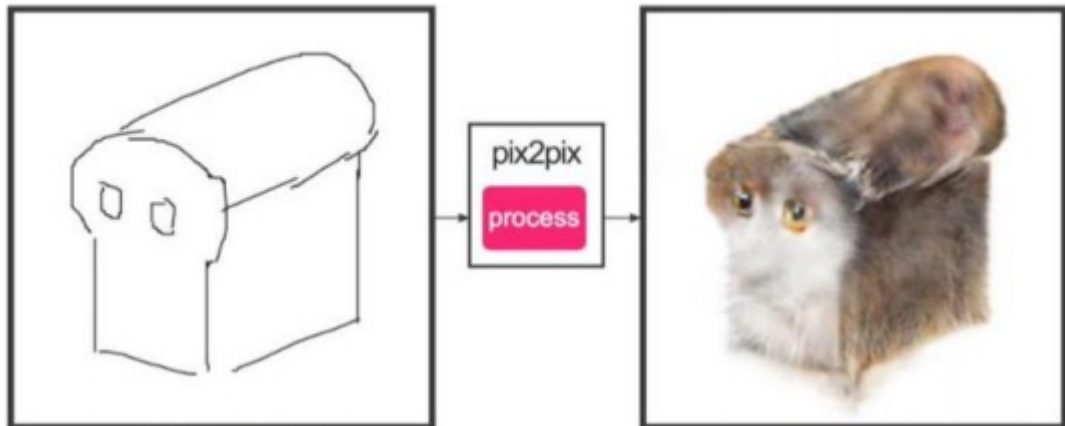
Output



# Pix2Pix



#edges2cats by Christopher Hesse



sketch by Ivy Tsai

Background removal



by Kaihu Chen

Palette generation



by Jack Qiao

Sketch → Pokemon



by Bertrand Gondouin

“Do as I do”

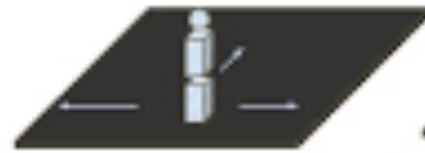


by Brannon Dorsey



## Discriminator - Patch GAN

PixelGAN



PatchGAN



ImageGAN



Архитектура:

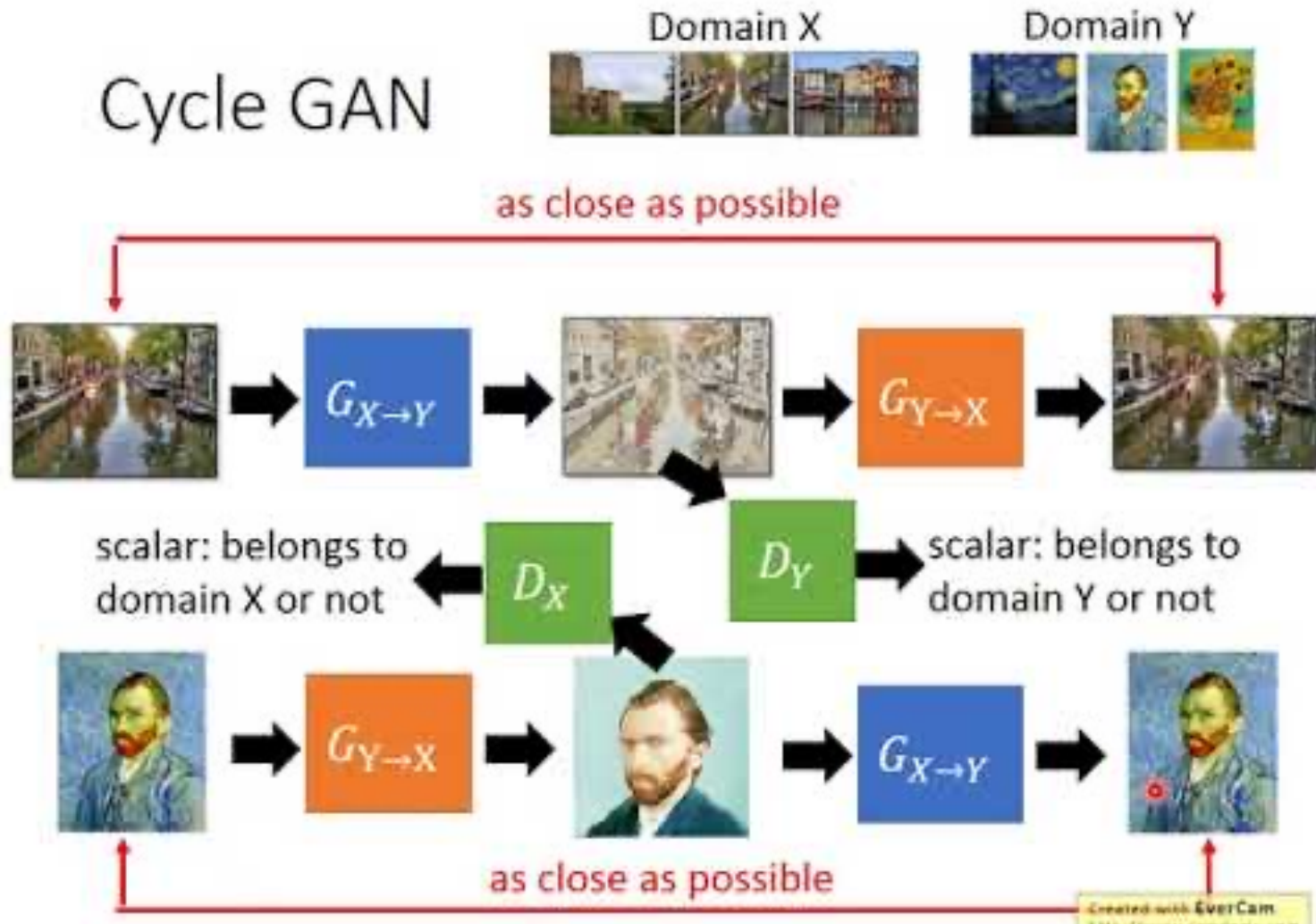
- Генератор: U-net
- Дискриминатор: PatchGAN

---

Ограничение:

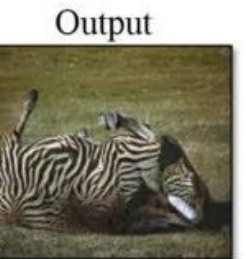
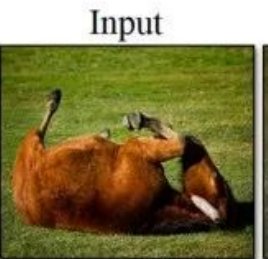
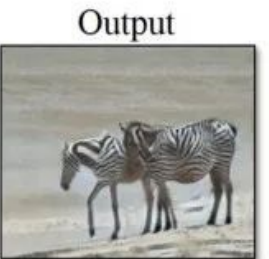
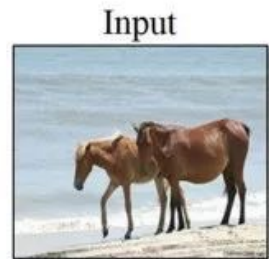
- Требует размеченные попарно данные

# CycleGAN



Zhu, Jun-Yan, et al. "Unpaired image-to-image translation using cycle-consistent adversarial networks." *arXiv preprint*(2017).

# CycleGAN



horse  $\rightarrow$  zebra



zebra  $\rightarrow$  horse



apple  $\rightarrow$  orange



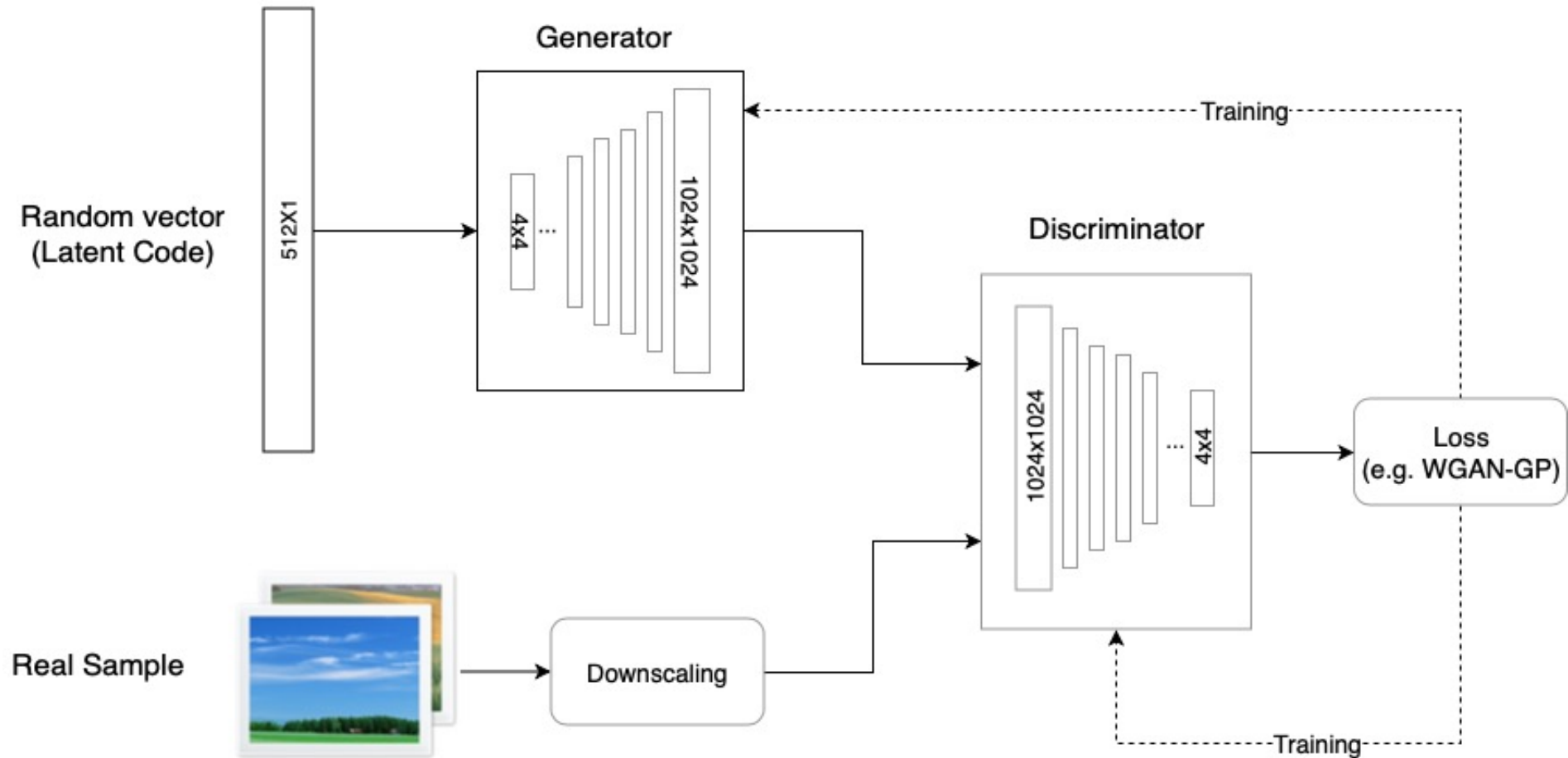
orange  $\rightarrow$  apple

# CycleGAN

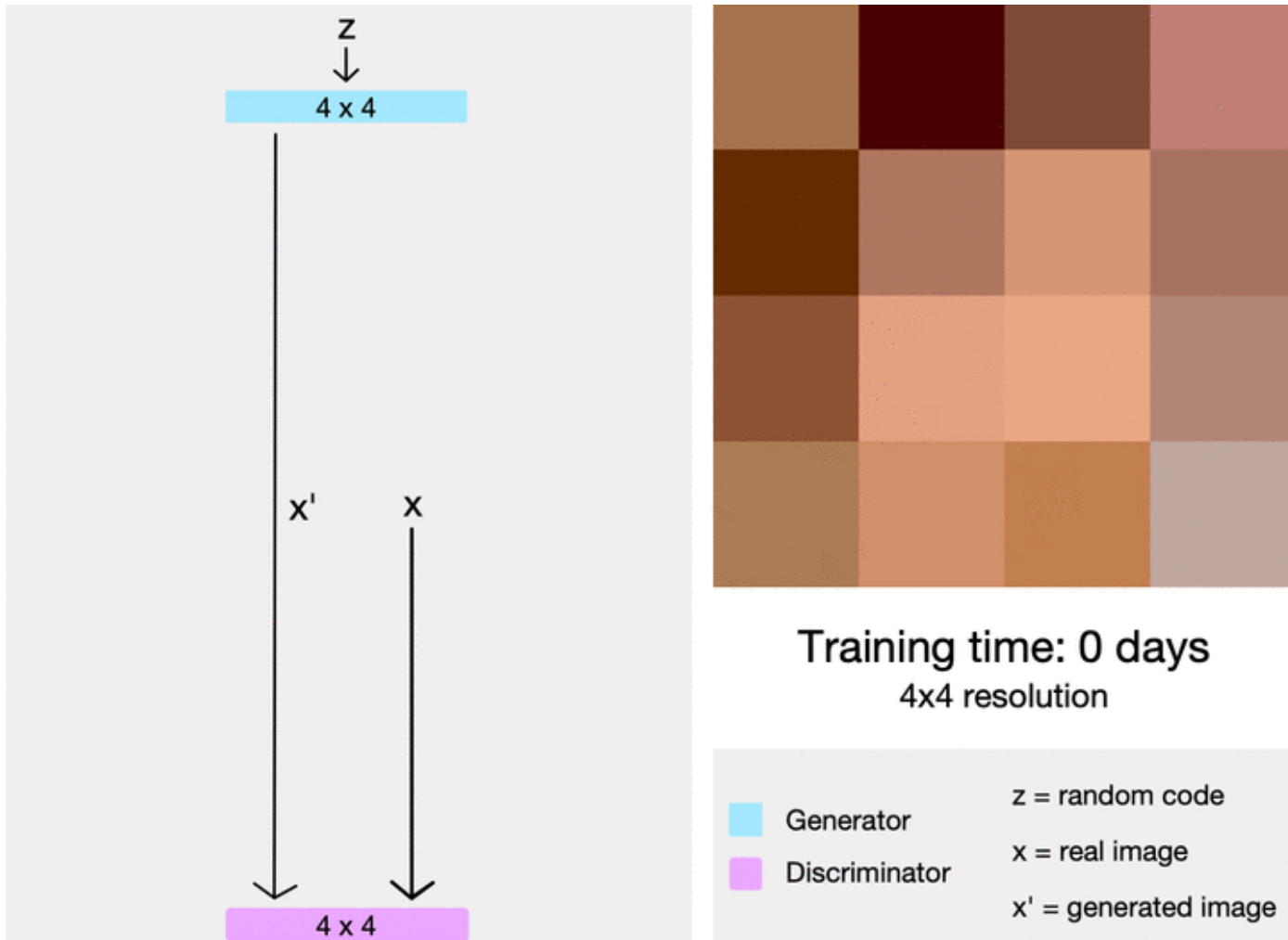
---



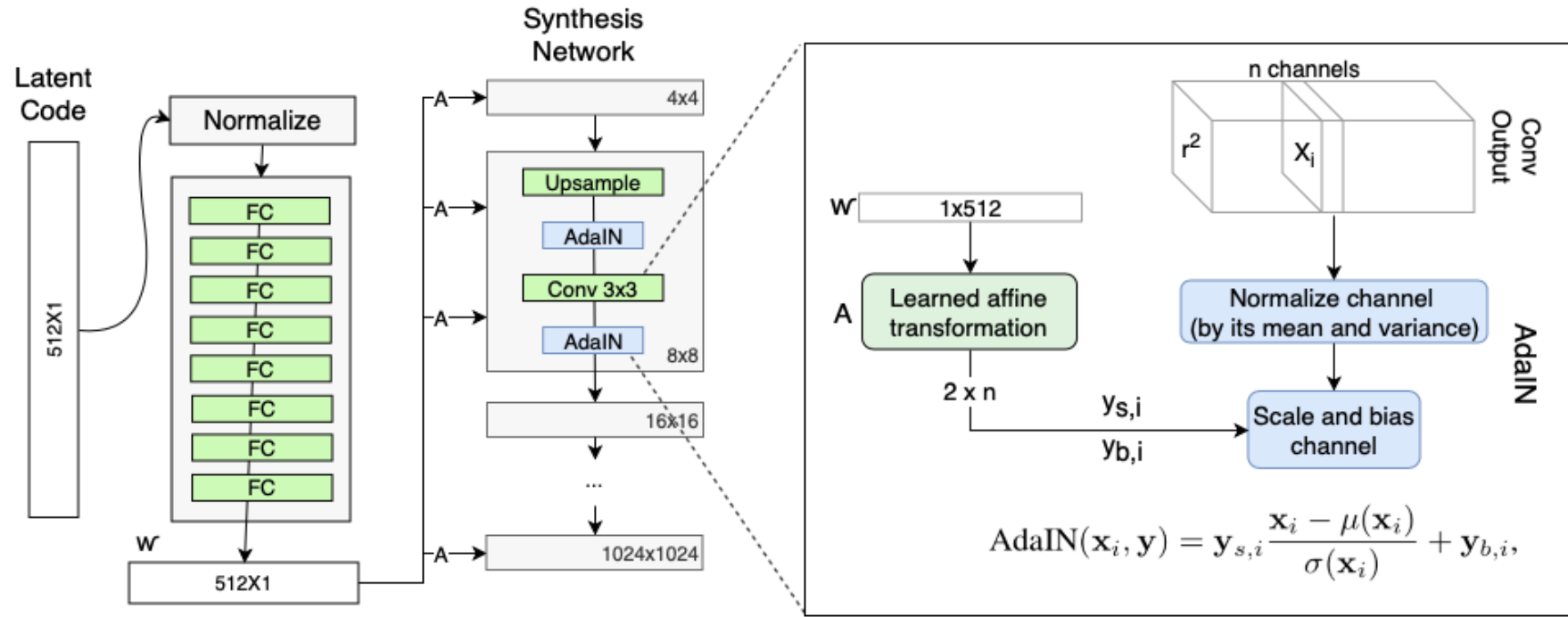
# Progressive GAN



# Демонстрация ProGAN

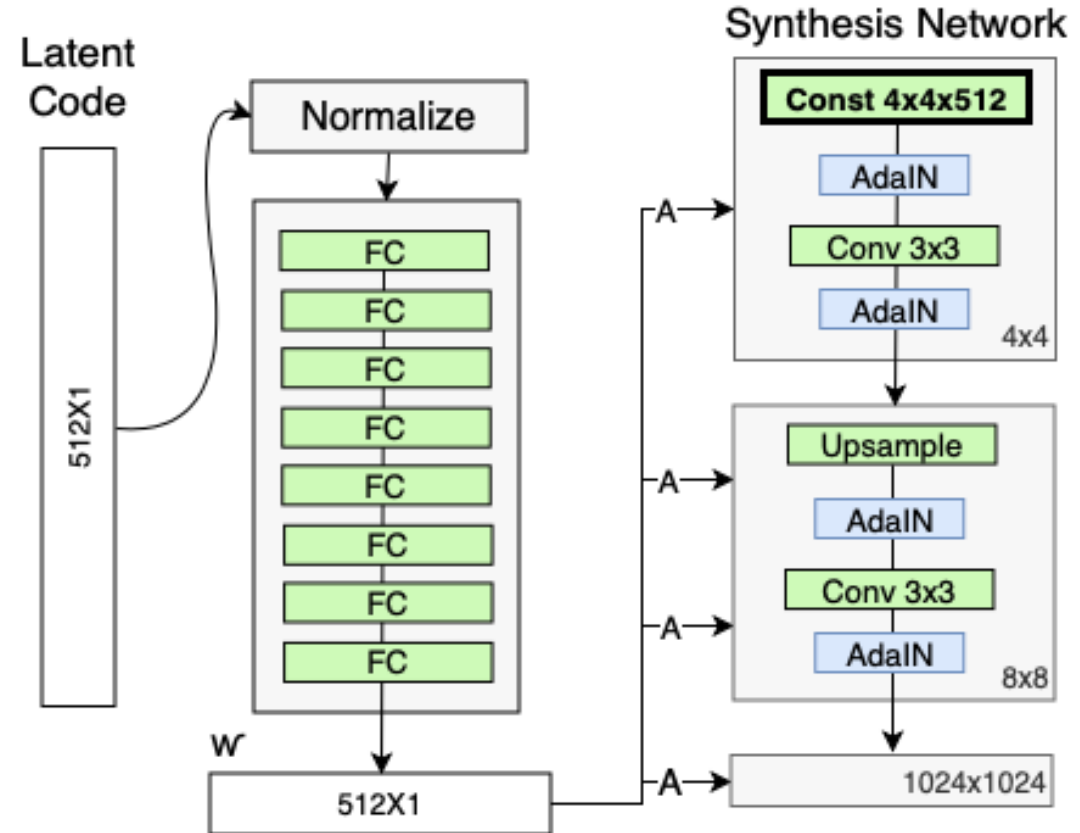


# StyleGAN



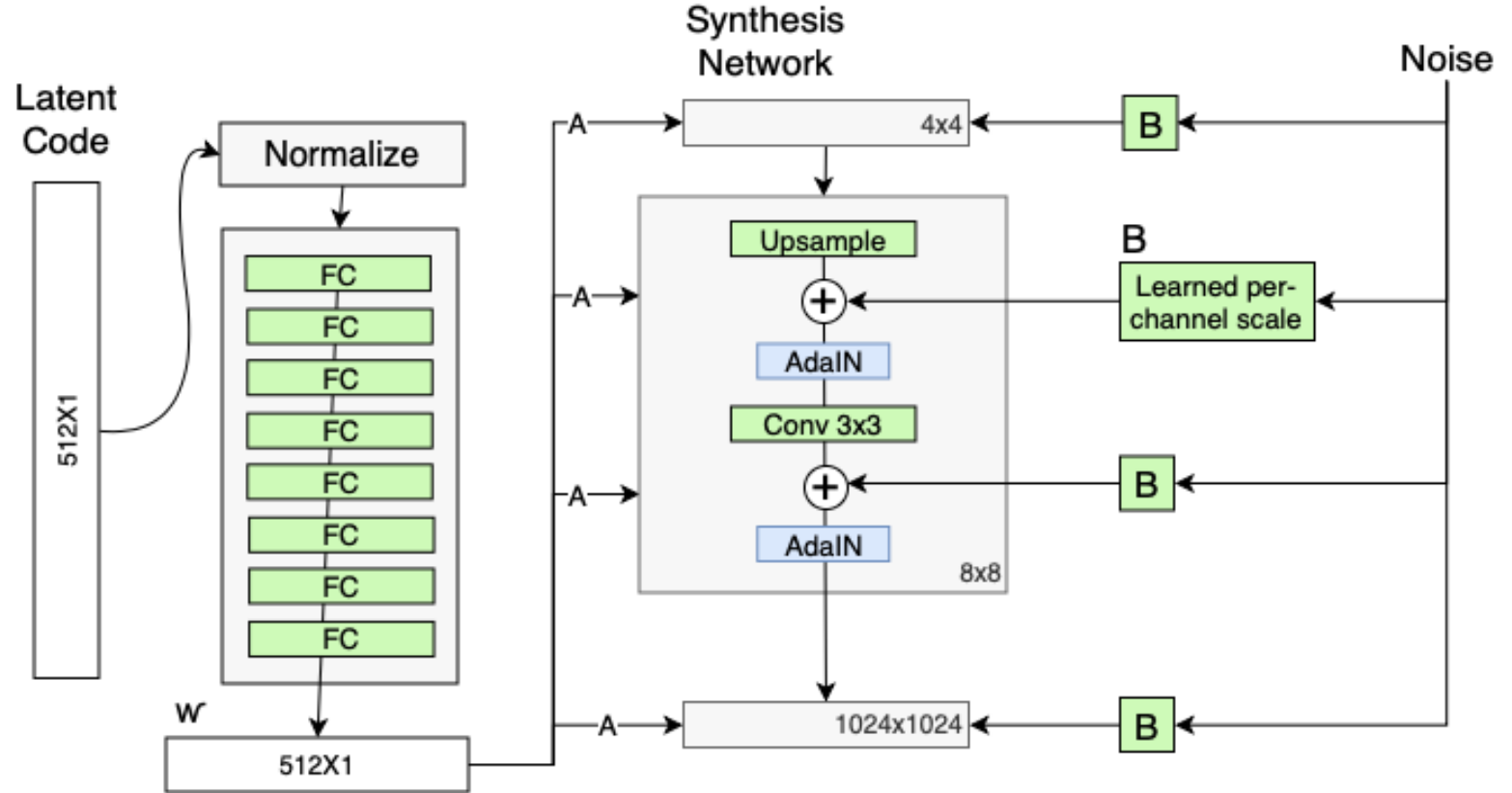
Пропустим код через специальную сеть, которая сгенерирует «управляющий» сигнал. Сигнал подается на AdaIN слой

# StyleGAN



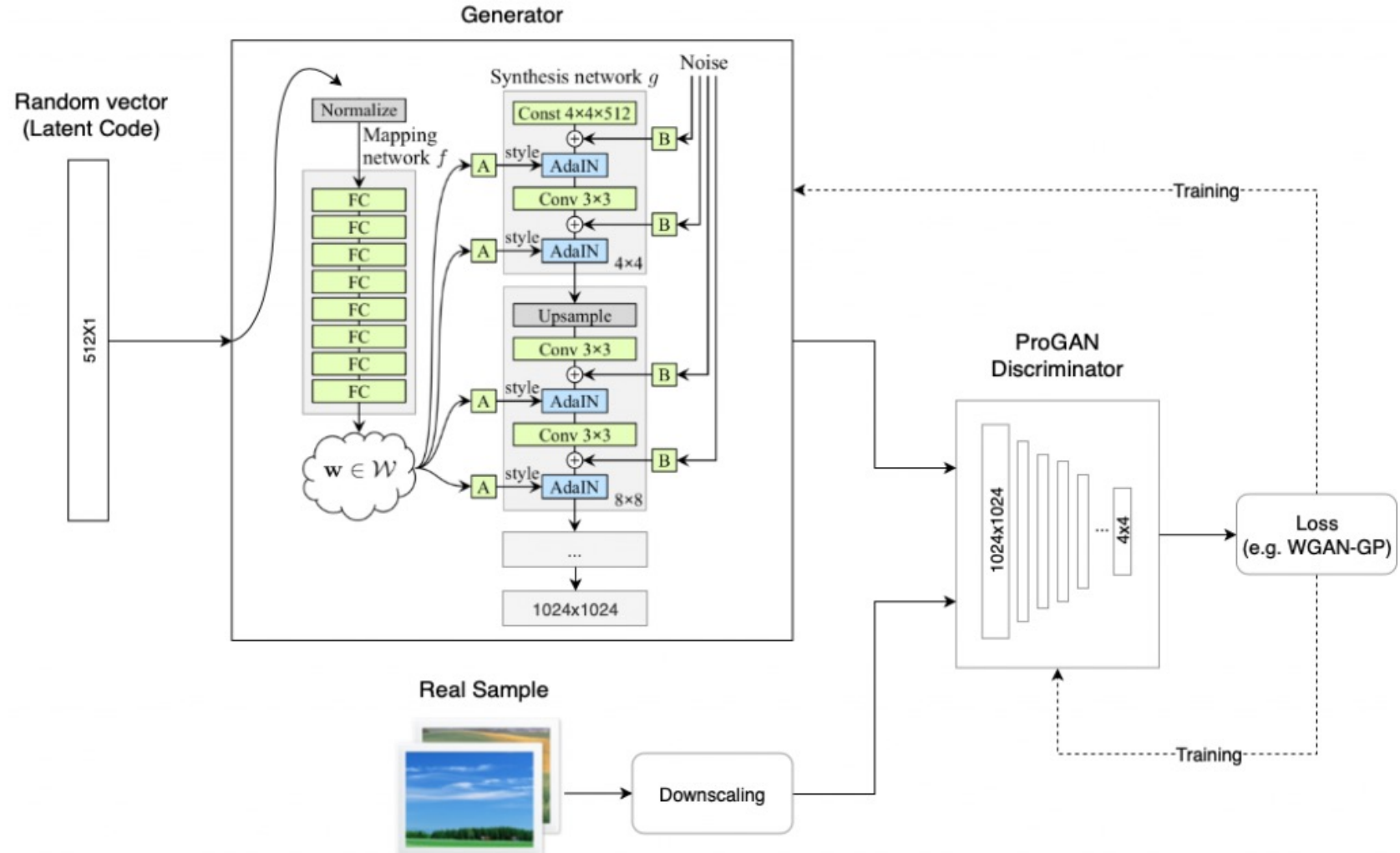
Оказывается, что на вход генератору можно подавать константное мини-изображение. И дальше оно будет преобразовываться через управляющие сигналы в целевое

# StyleGAN



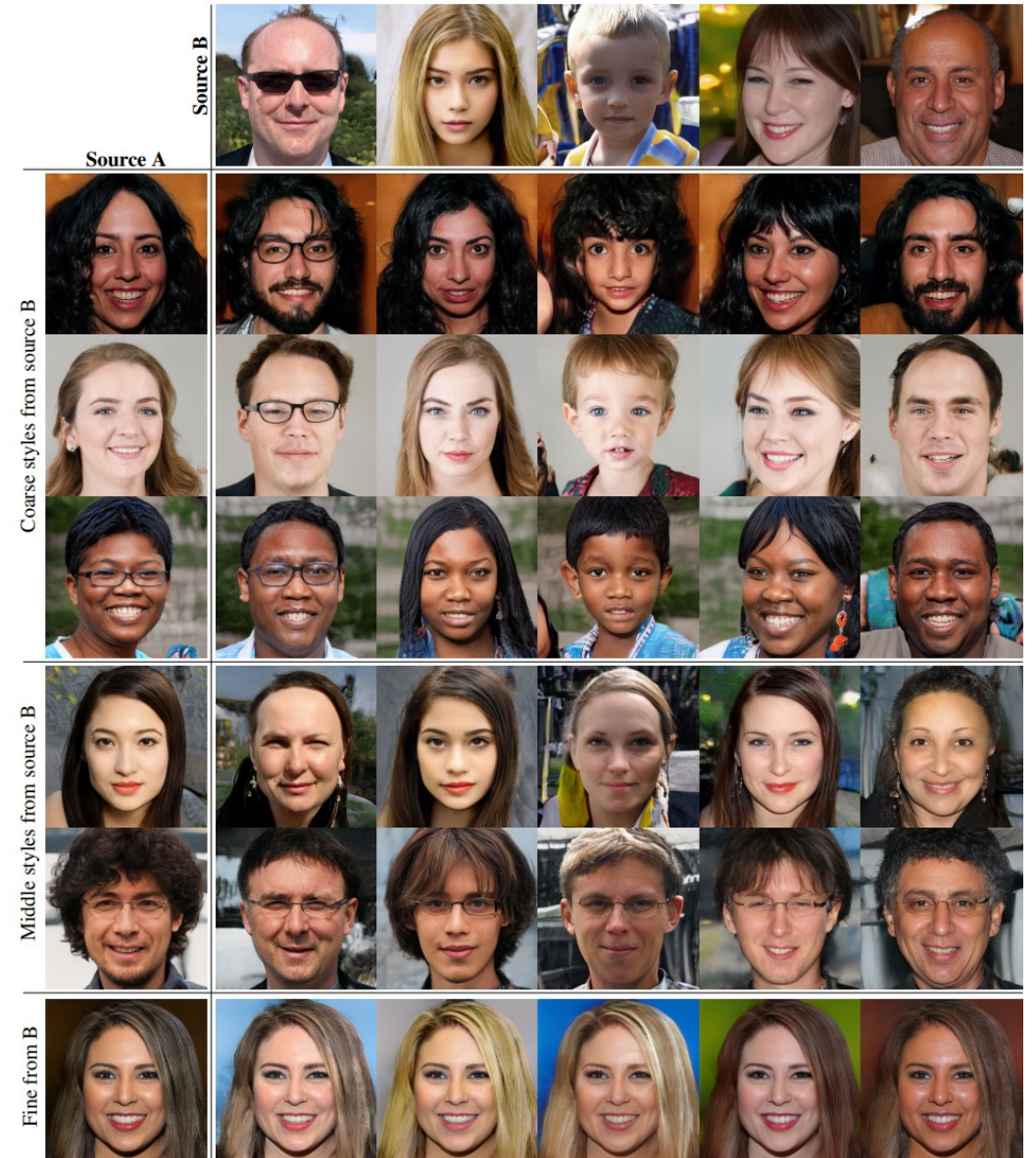
Для генерации случайных мелких деталей и дополнительной  
рандомизации будем подмешивать на каждом этапе шум

# StyleGAN



Обучаем в прогрессивном режиме

# StyleGAN



- Разделим «стиль» на компоненты
- Для этого будем учить сеть так, что на разные уровни подаётся управляющий сигнал, сгенерированный от разных кодов
- Можем управлять генерацией, выбирая интересные нам изображения и подмешивая их коды
- В примерах – стиль от В на соответствующем уровне, и всё остальное от А

# Артефакты StyleGAN



Figure 1. Instance normalization causes water droplet -like artifacts in StyleGAN images. These are not always obvious in the generated images, but if we look at the activations inside the generator network, the problem is always there, in all feature maps starting from the 64x64 resolution. It is a systemic problem that plagues all StyleGAN images.

<https://arxiv.org/pdf/1912.04958.pdf>

# StyleGAN v2

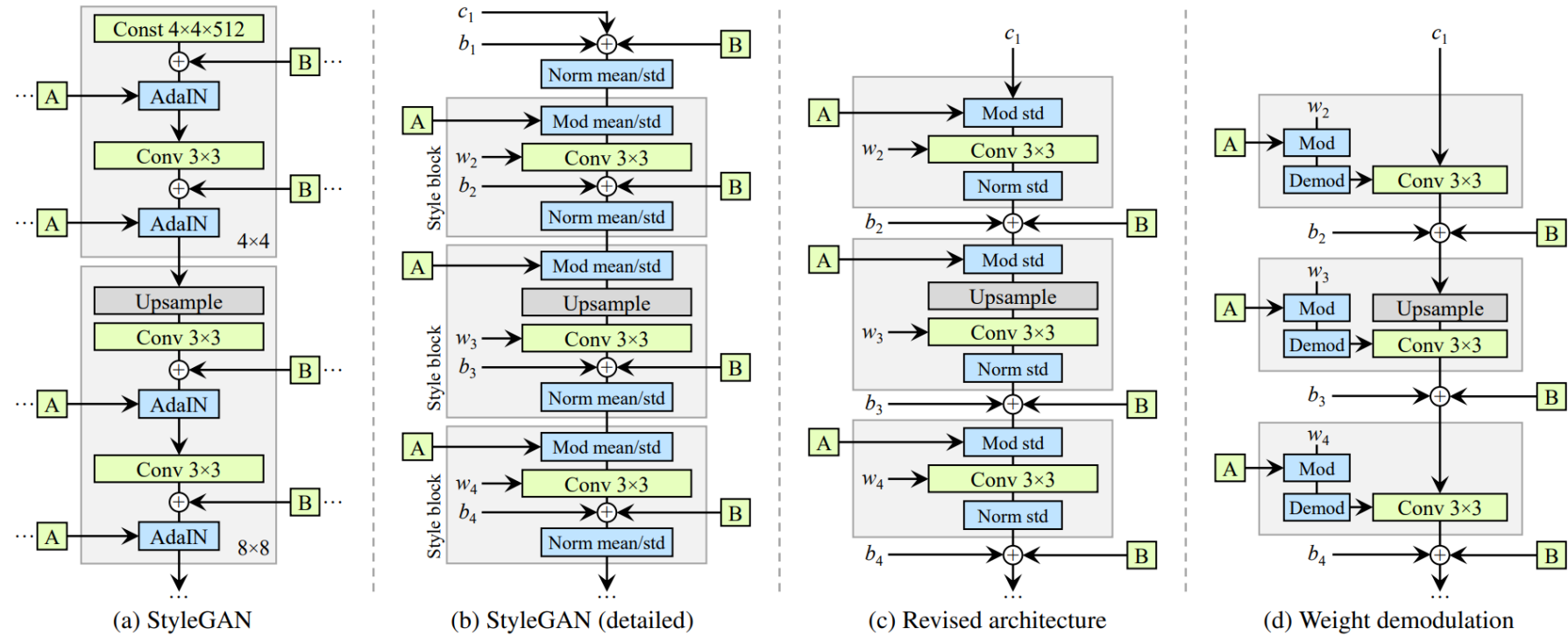
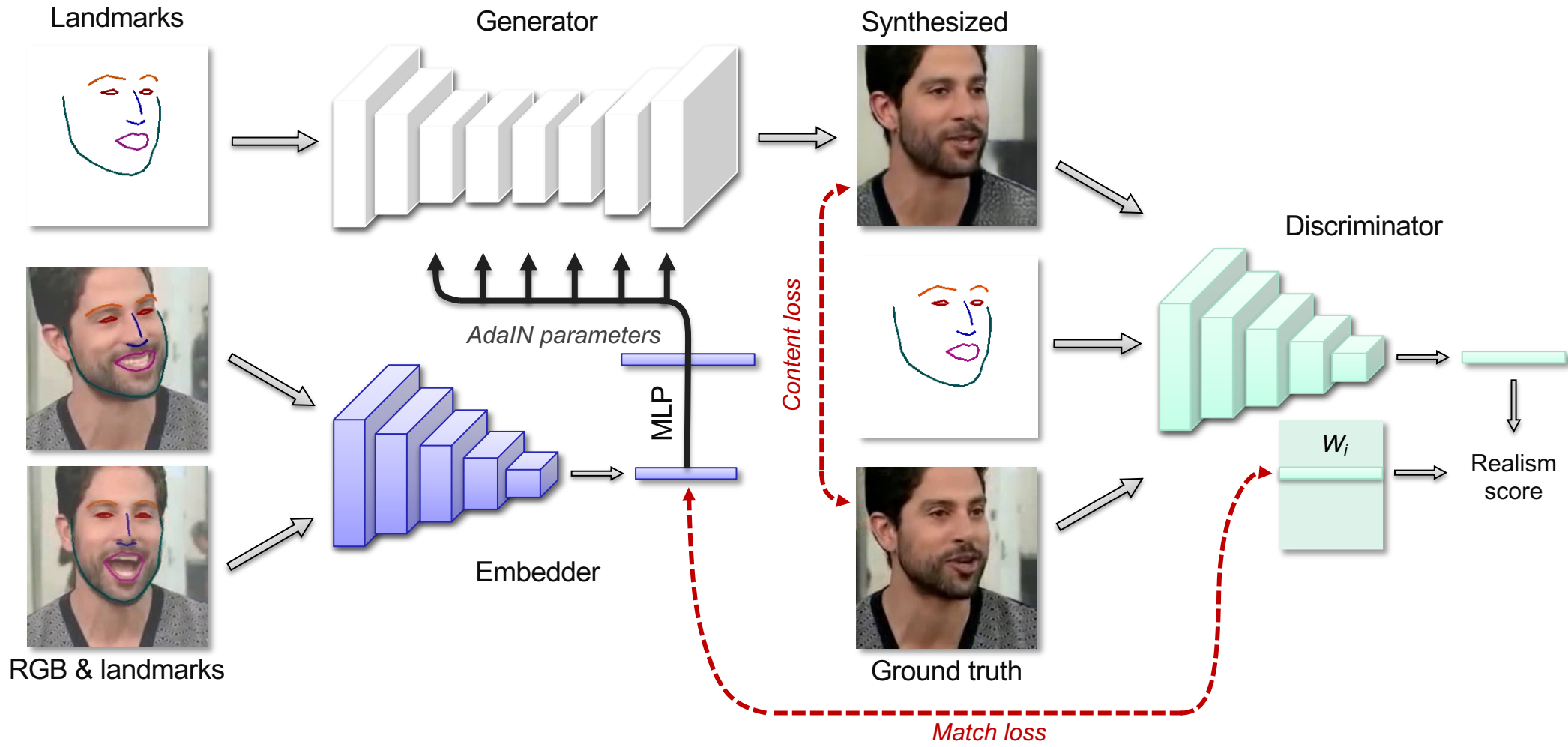


Figure 2. We redesign the architecture of the StyleGAN synthesis network. (a) The original StyleGAN, where  $\boxed{A}$  denotes a learned affine transform from  $\mathcal{W}$  that produces a style and  $\boxed{B}$  is a noise broadcast operation. (b) The same diagram with full detail. Here we have broken the AdaIN to explicit normalization followed by modulation, both operating on the mean and standard deviation per feature map. We have also annotated the learned weights ( $w$ ), biases ( $b$ ), and constant input ( $c$ ), and redrawn the gray boxes so that one style is active per box. The activation function (leaky ReLU) is always applied right after adding the bias. (c) We make several changes to the original architecture that are justified in the main text. We remove some redundant operations at the beginning, move the addition of  $b$  and  $\boxed{B}$  to be outside active area of a style, and adjust only the standard deviation per feature map. (d) The revised architecture enables us to replace instance normalization with a “demodulation” operation, which we apply to the weights associated with each convolution layer.

# StyleGAN v2



# AdaIN human avatars



# AdaIN human avatars



Training data:



...



Landmarks



One-shot result



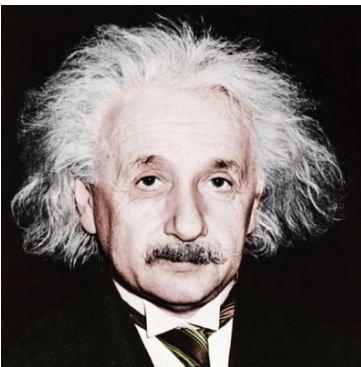
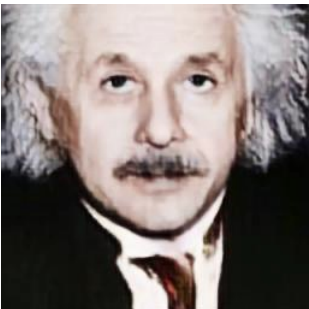
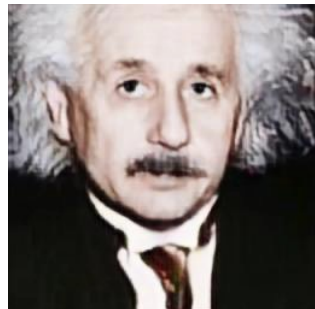
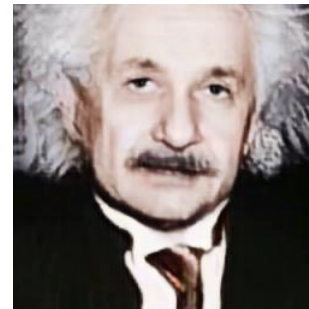
Eight-shot result



32-shot result

# Adaln human avatars

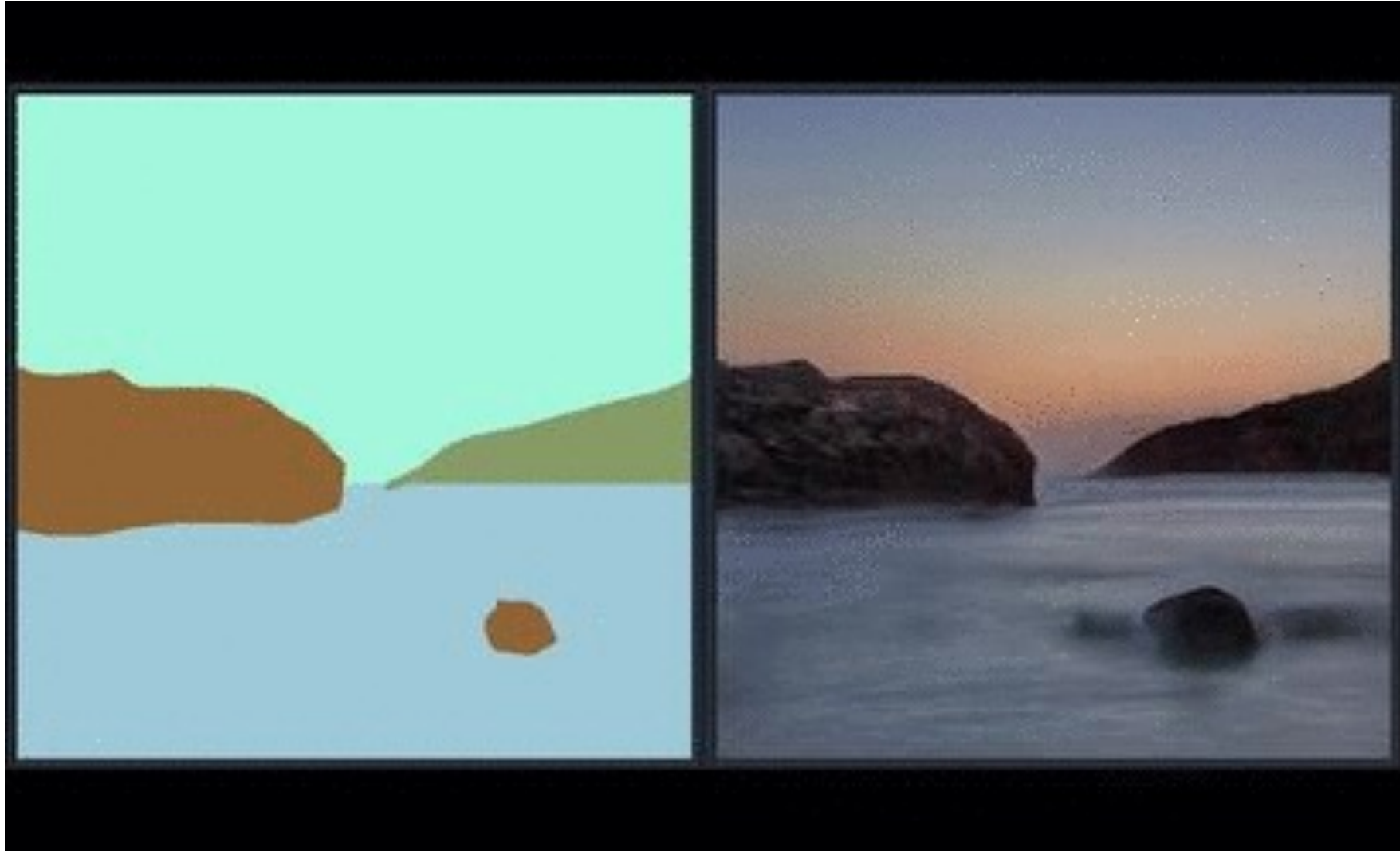
---



[Zakharov et al. ICCV19]

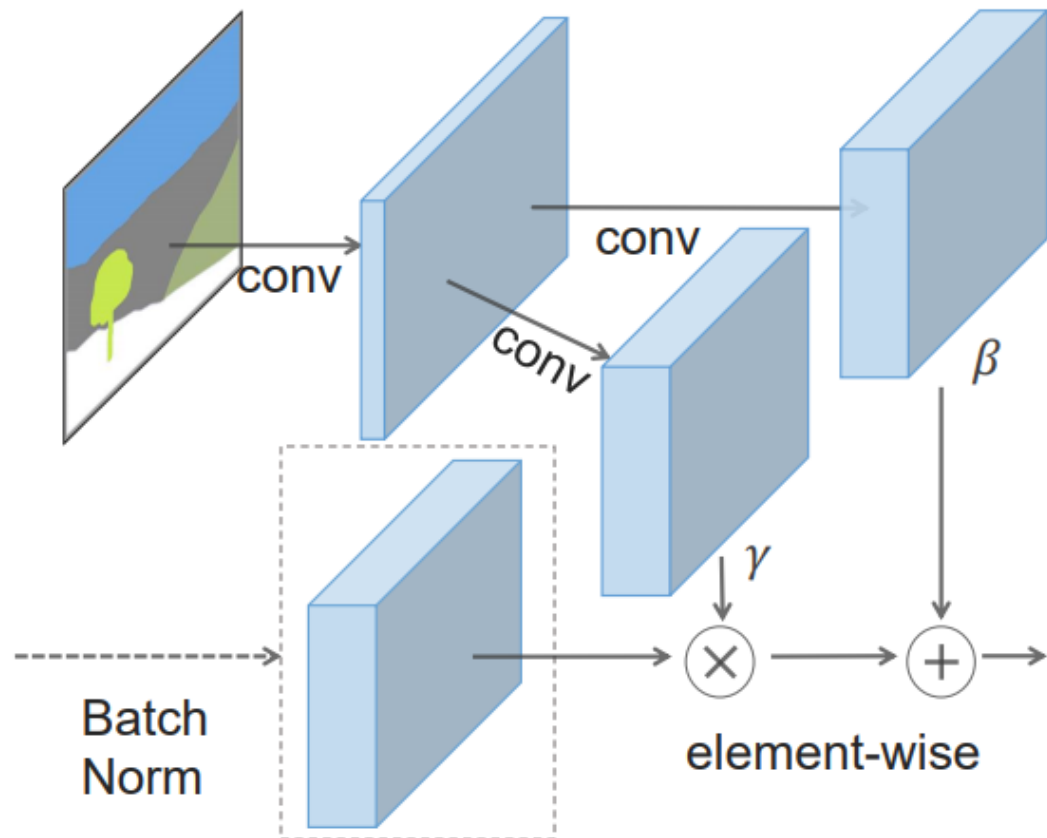
# SPADE (or GauGAN)

---



<https://arxiv.org/pdf/1903.07291.pdf>

# Spatially-adaptive denormalization



- Похоже на AdaIN, но генерируем параметры для каждого пикселя
- Параметры генерируются управляющей сеткой

# Генератор в SPADE

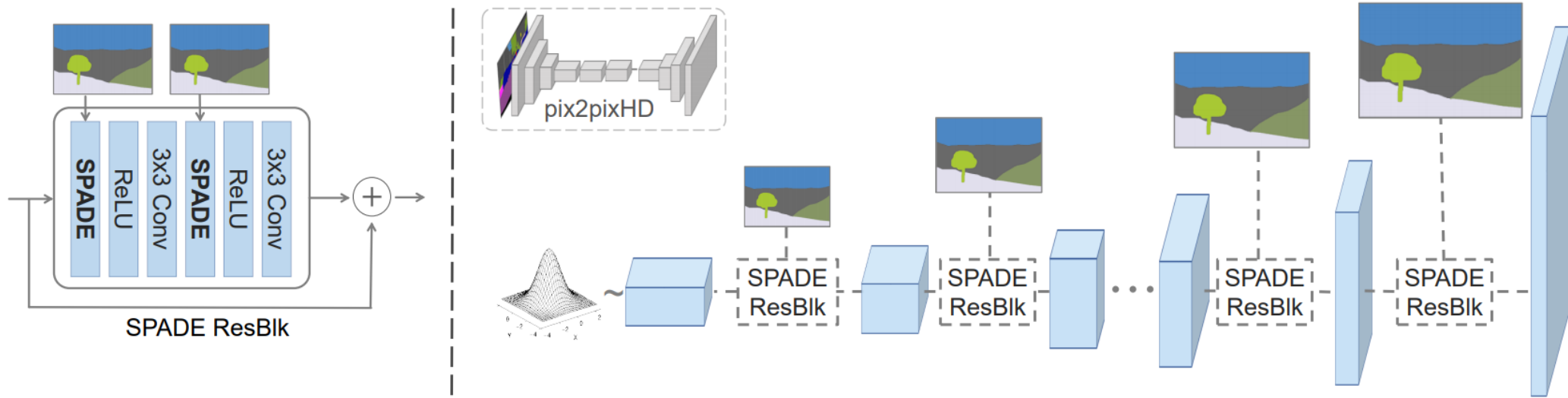
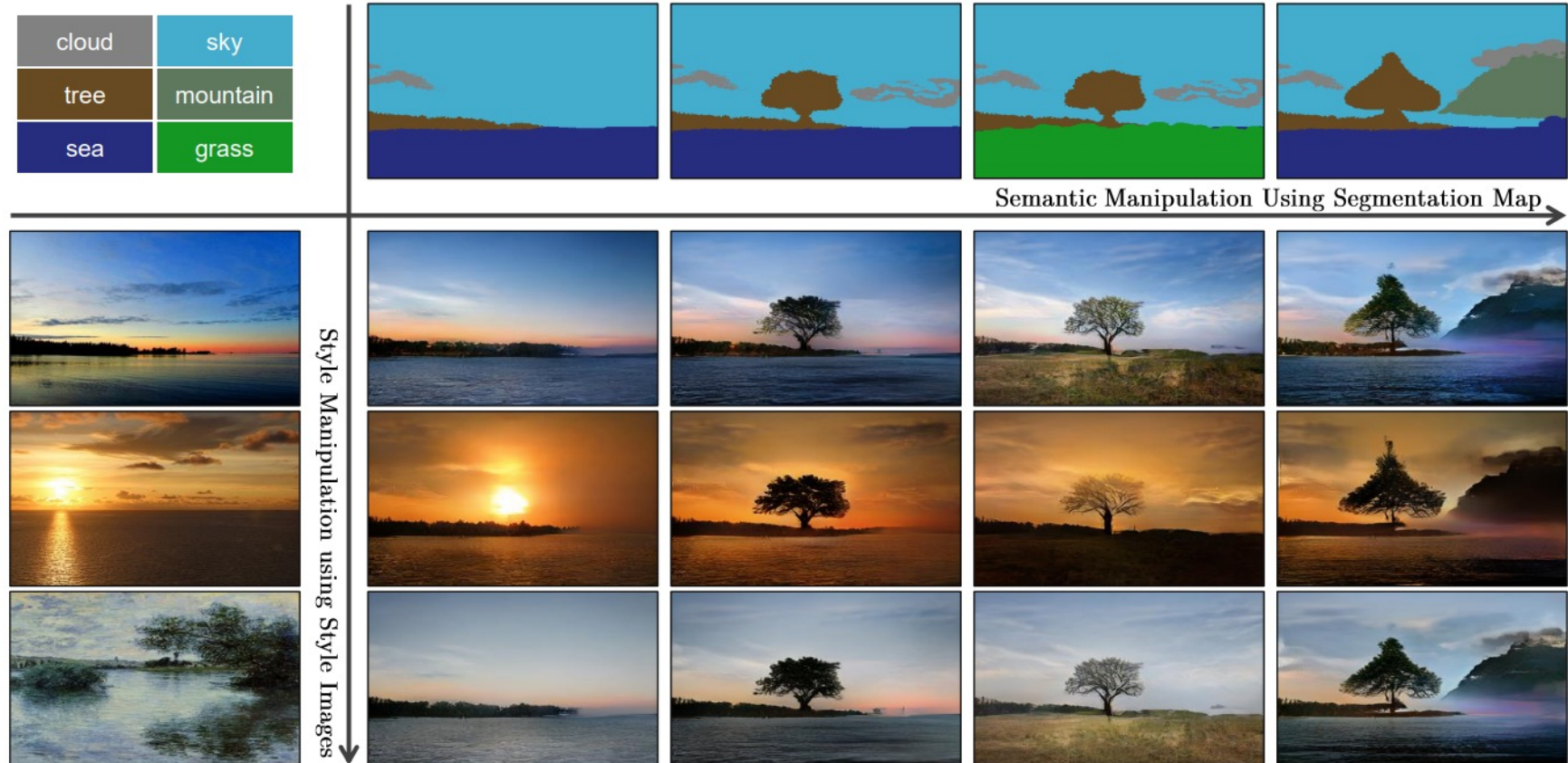


Figure 4: In the SPADE generator, each normalization layer uses the segmentation mask to modulate the layer activations. (left) Structure of one residual block with the SPADE. (right) The generator contains a series of the SPADE residual blocks with upsampling layers. Our architecture achieves better performance with a smaller number of parameters by removing the downsampling layers of leading image-to-image translation networks such as the pix2pixHD model [48].

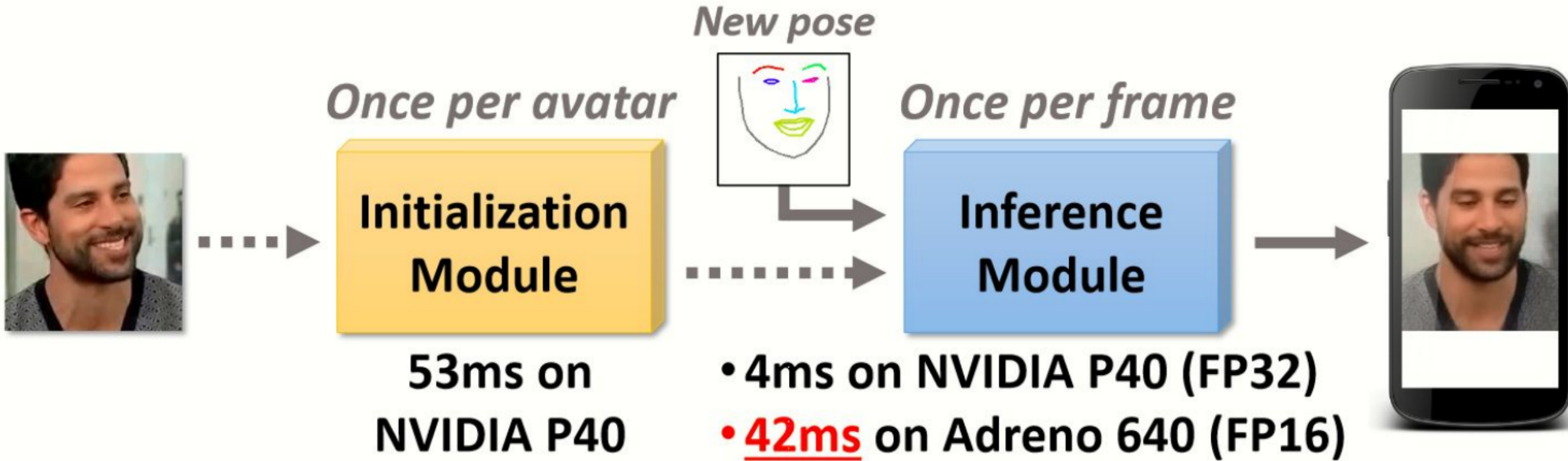


# Стилизация изображения



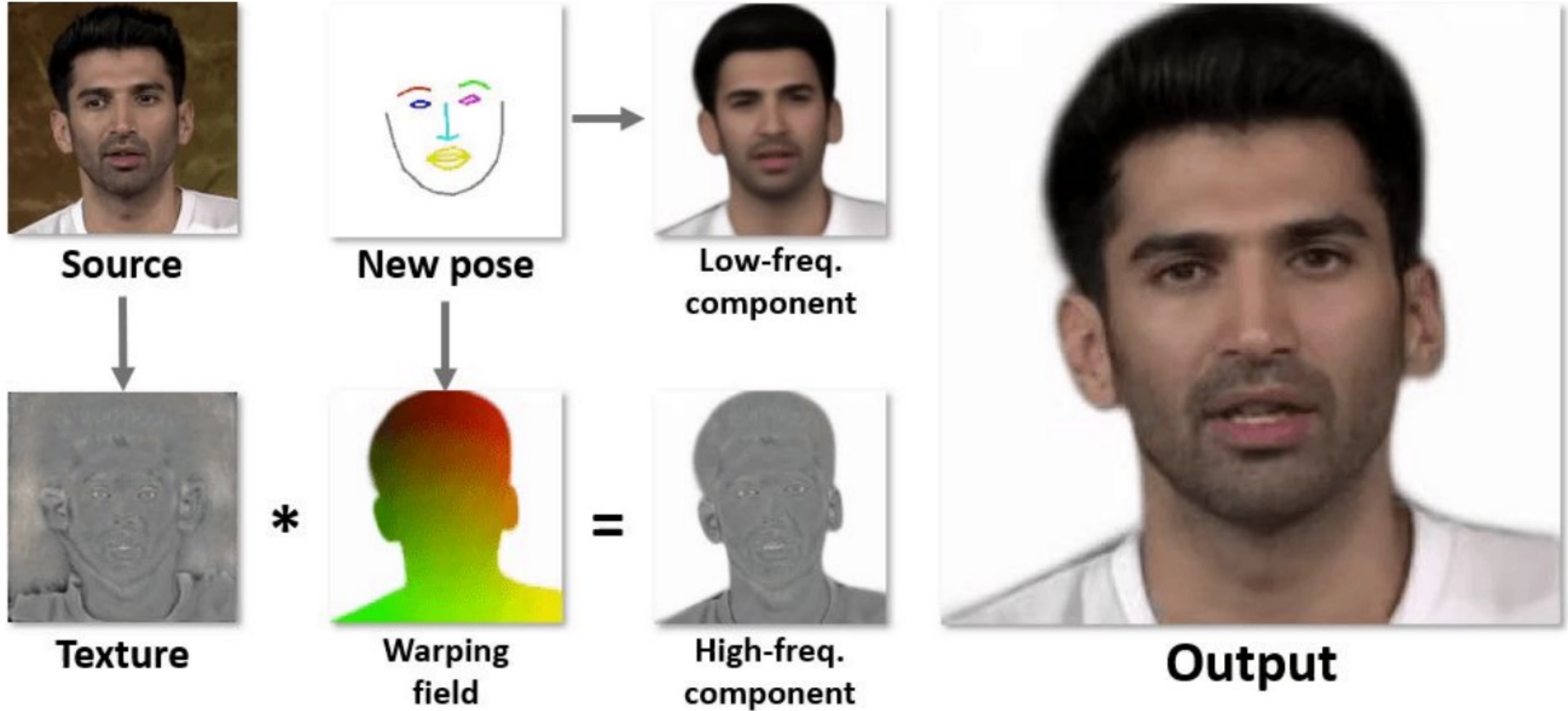
- На вход подаётся случайный вектор
- Вместо случайного вектора можно подавать «сжатое» представление стиля, полученное из Encoder-Decoder сети

# Bi-layer model

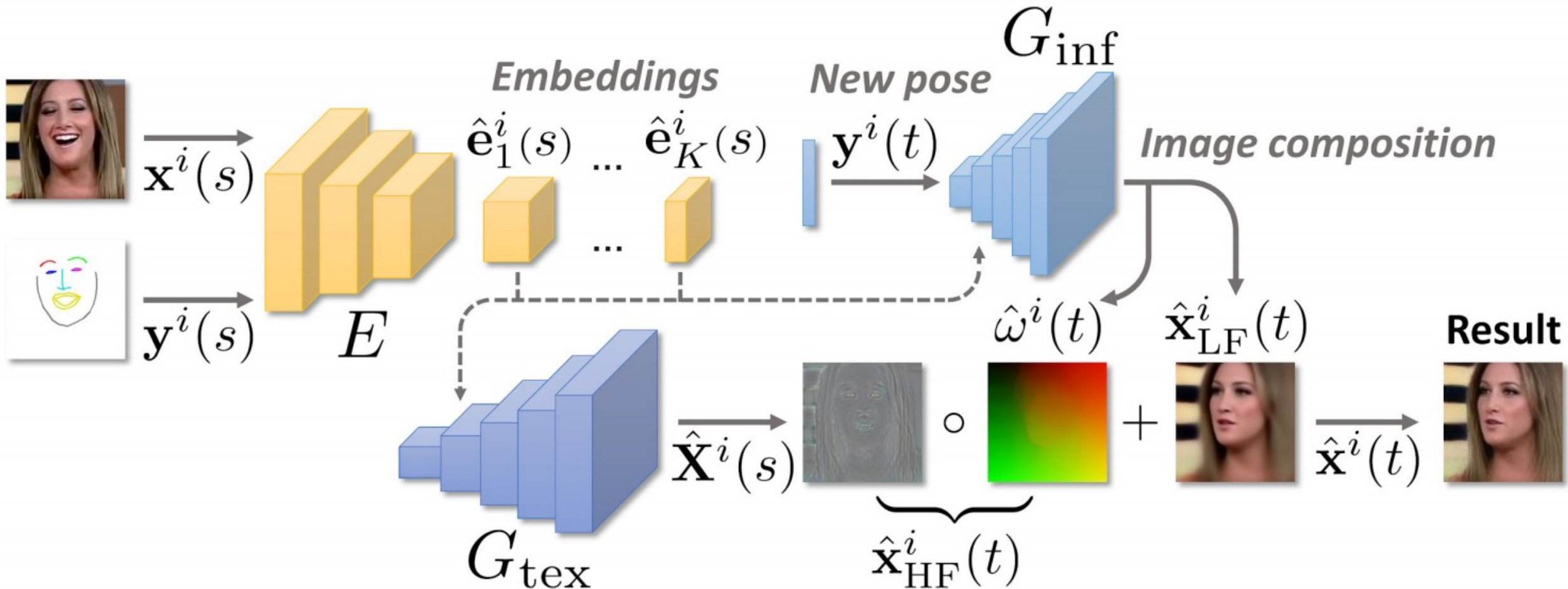


- One-shot initialization
- Mobile inference
- State-of-the-art quality

# Идея алгоритма



# Схема модели



# Применение - суперразрешение



original



bicubic  
(21.59dB/0.6423)



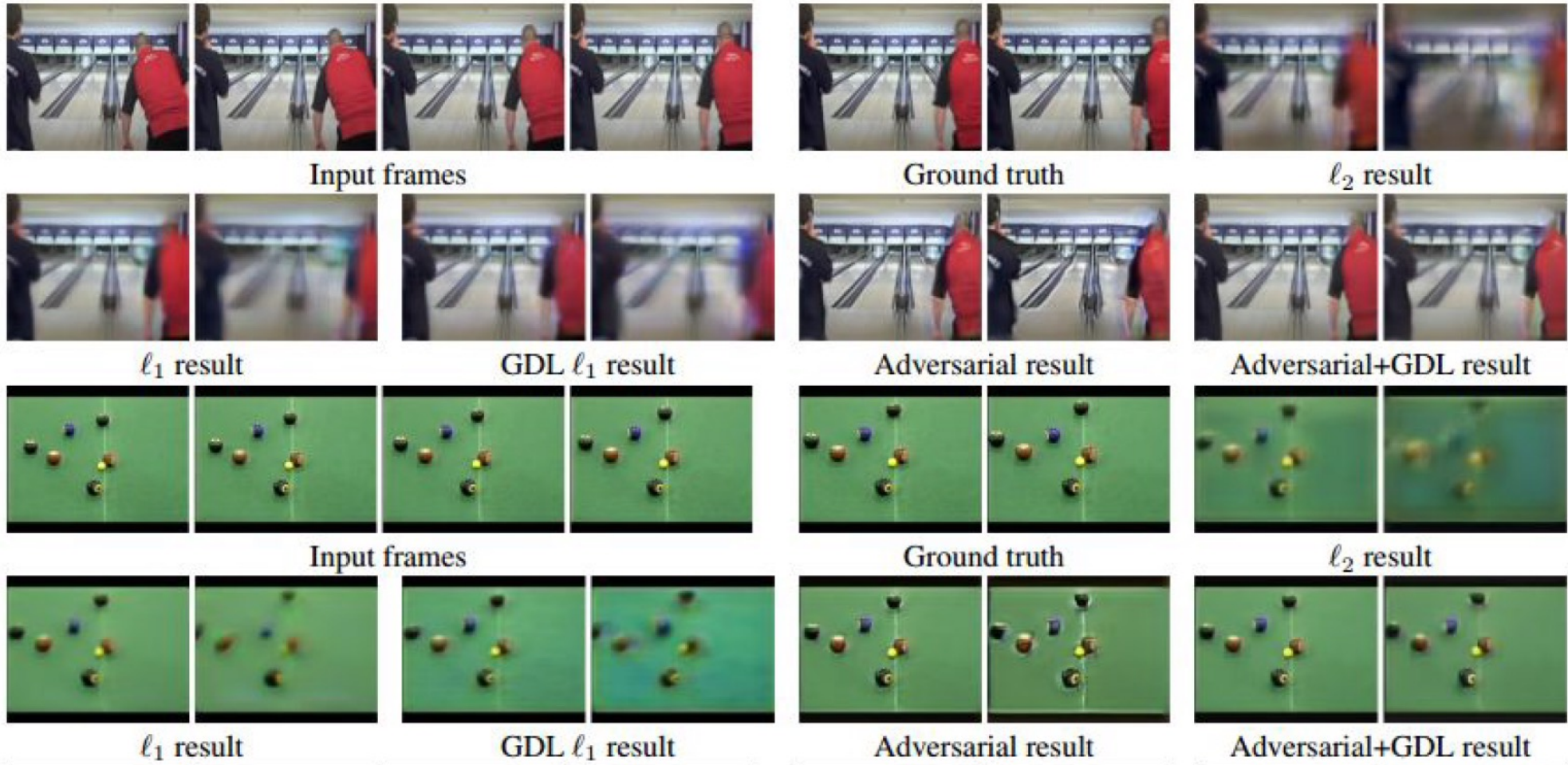
SRResNet  
(23.44dB/0.7777)



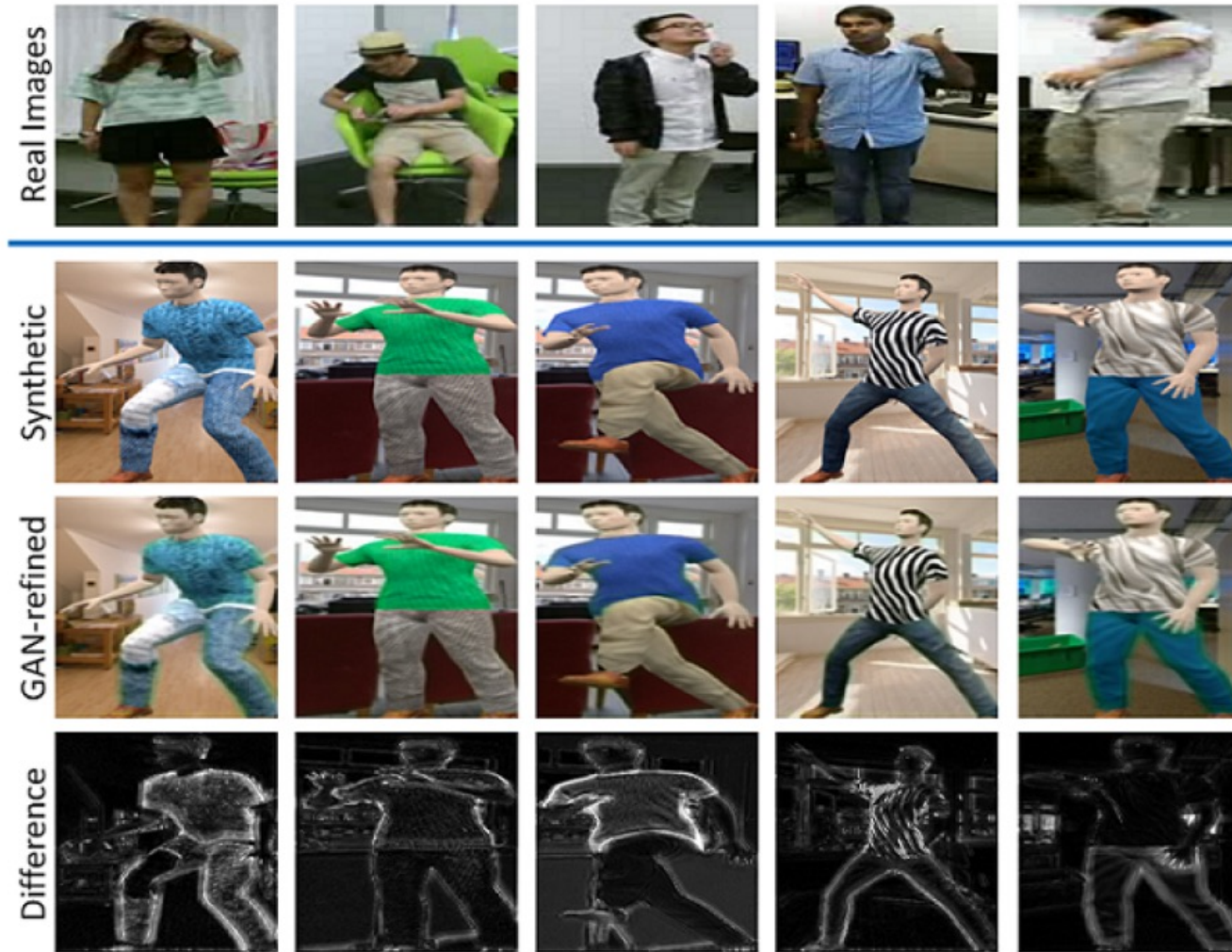
SRGAN  
(20.34dB/0.6562)



# Приложение - предсказание кадров



# Приложение – Domain Adaptation



Jian Liu, Ajmal Mian. Learning Human Pose Models from Synthesized Data for Robust RGB-D Action Recognition. <https://arxiv.org/abs/1707.00823>

# Резюме лекции

---



- Нейропризнаки кодируют и содержание, и внешность изображений.
- Корреляции между признаками описывают «стиль»
- Для преобразования изображений предложены сети кодировщик-декодеровщик
- Похожесть изображений хорошо оценивается с помощью Perception Loss – сравнения значений нейросетевых признаков
- Для оценки сохранения личности можно использовать Identity Loss, вариант Perception Loss по признакам сети, обученной на идентификации человека
- Adversarial Loss от сети классификатора, обучаемой совместно с генератором, позволяет добиться «реалистичности» изображений
- Cycle Loss позволяет работать с произвольными выборками, а не с парами соответствующих изображений
- AdaIN и SPADE слои позволяют управлять процессом «декодирования» изображений из латентов, а параметры для них генерируем управляемыми сетями